# Обобщенная электродинамика

# и перспективы развития новых технологий

### Томилин А.К.

доктор физико-математических наук, профессор

tomilin@ukg.kz

# Нарушение третьей аксиомы Ньютона при взаимодействии не параллельных токов

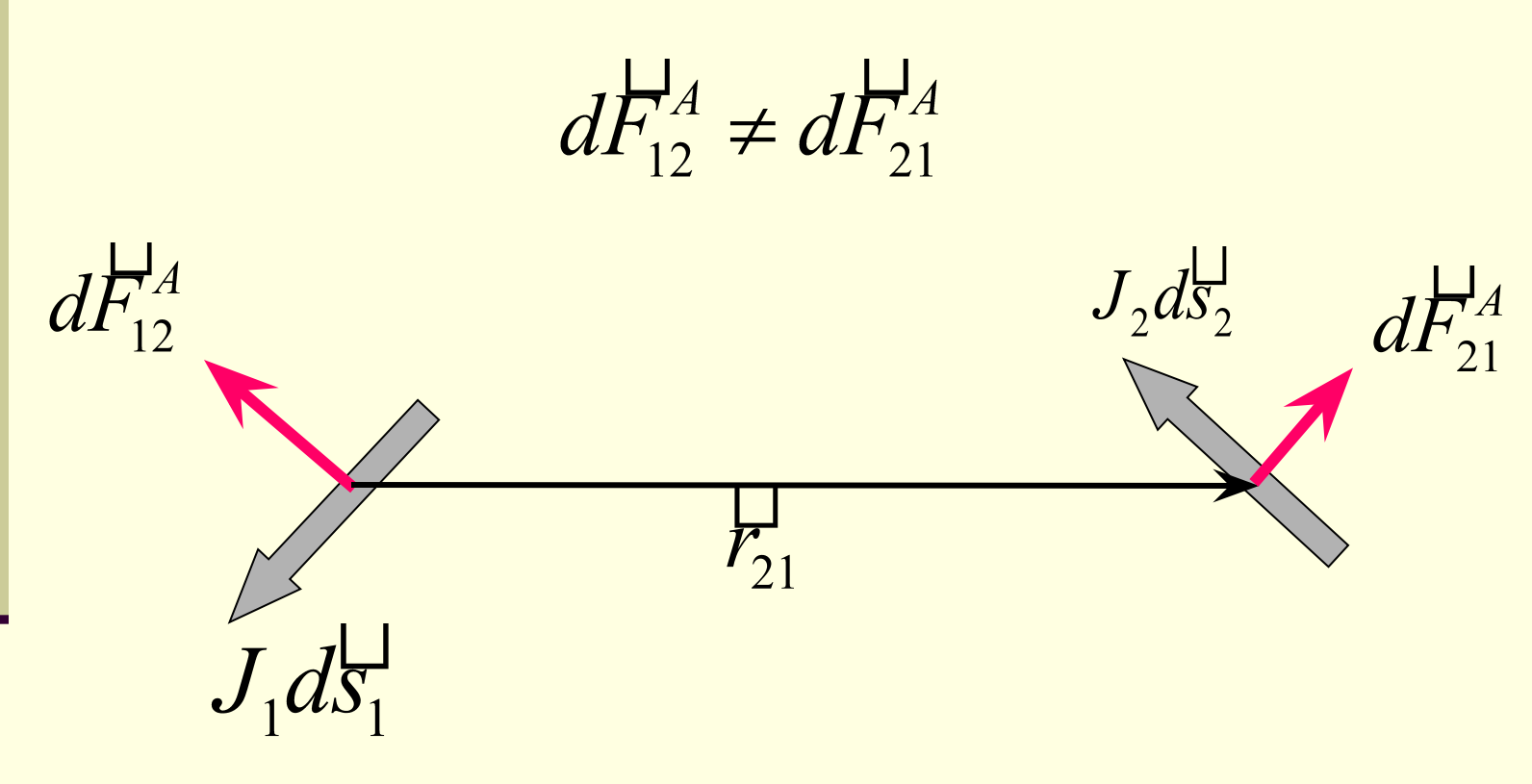


Рис. 1

### Силы Ампера, действующие на элементы тока

$$dF_{12}^{A} = \frac{\mu_0 \mu J_1 J_2}{4\pi} \frac{dS_1 \times (dS_2 \times r_{12})}{r_{12}^3} \tag{1}$$

$$dF_{21}^{A} = \frac{\mu_0 \mu J_1 J_2}{4\pi} \frac{dS_2 \times (dS_1 \times r_{21})}{r_{21}^3} \tag{2}$$

### Случай ортогонального расположения токов

$$dF_{12}^{IA} \neq 0$$
,  $dF_{21}^{IA} = 0$  так как  $dS_1 \times F_{21}^{IA}$   $J_2 dS_2$   $J_2 dS_2$   $J_2 dS_2$ 

Рис. 2

#### Идея Николаева Г.В.

$$dF_{12}^{\perp} = -dF_{21}^{\perp}$$

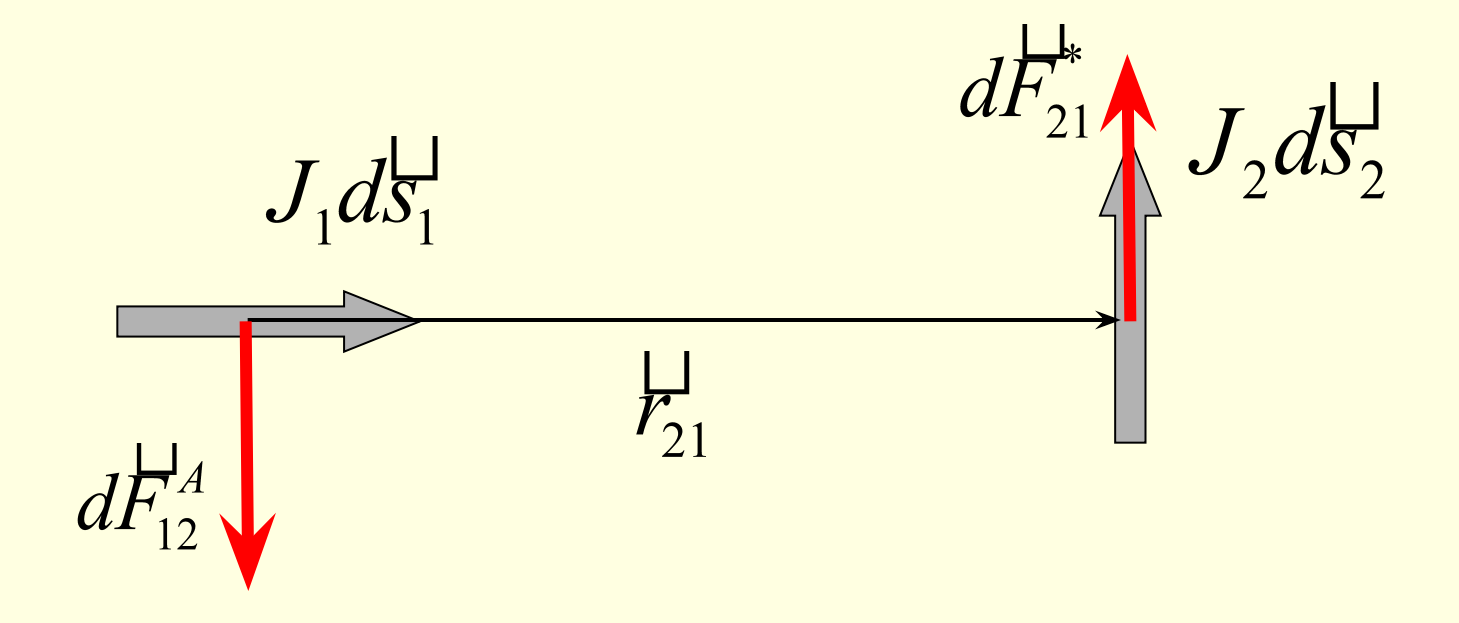


Рис. 3

# Общий случай взаимодействия элементов тока

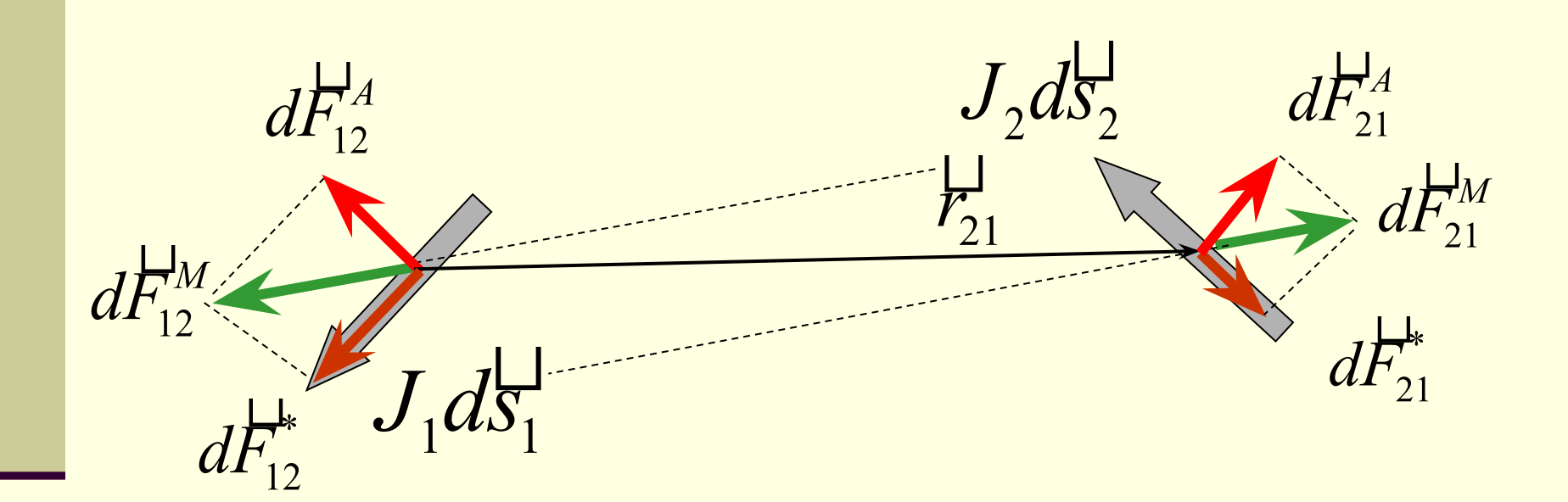


Рис. 4

### Обобщенная магнитостатика

$$\Pi = \frac{1}{\mu_0} rot A \tag{3}$$

$$H^* = -\frac{1}{\mu_0} div A \tag{4}$$

 $H^*(x', y', z', t)$ -напряженность *скалярного* магнитного поля (СМП)

$$(H,H^*)$$
 - 4-мерный вектор

### Уравнения магнитостатики

$$rot H + grad H^* = J$$
 (5)

$$div H = 0 (6)$$

Уравнение (6) соответствует теореме Стокса-Гельмгольца

### Свойства векторного потенциала

$$\Delta \vec{A} = -\mu_0 \vec{j}$$

(7)

при этом

$$div \overrightarrow{A} \neq 0$$

(8)

### Свойства векторного потенциала

$$\Delta \vec{A} = -\mu_0 \vec{j} \tag{7}$$

при этом

$$div \stackrel{\sqcup}{A} \neq 0 \tag{8}$$

следовательно

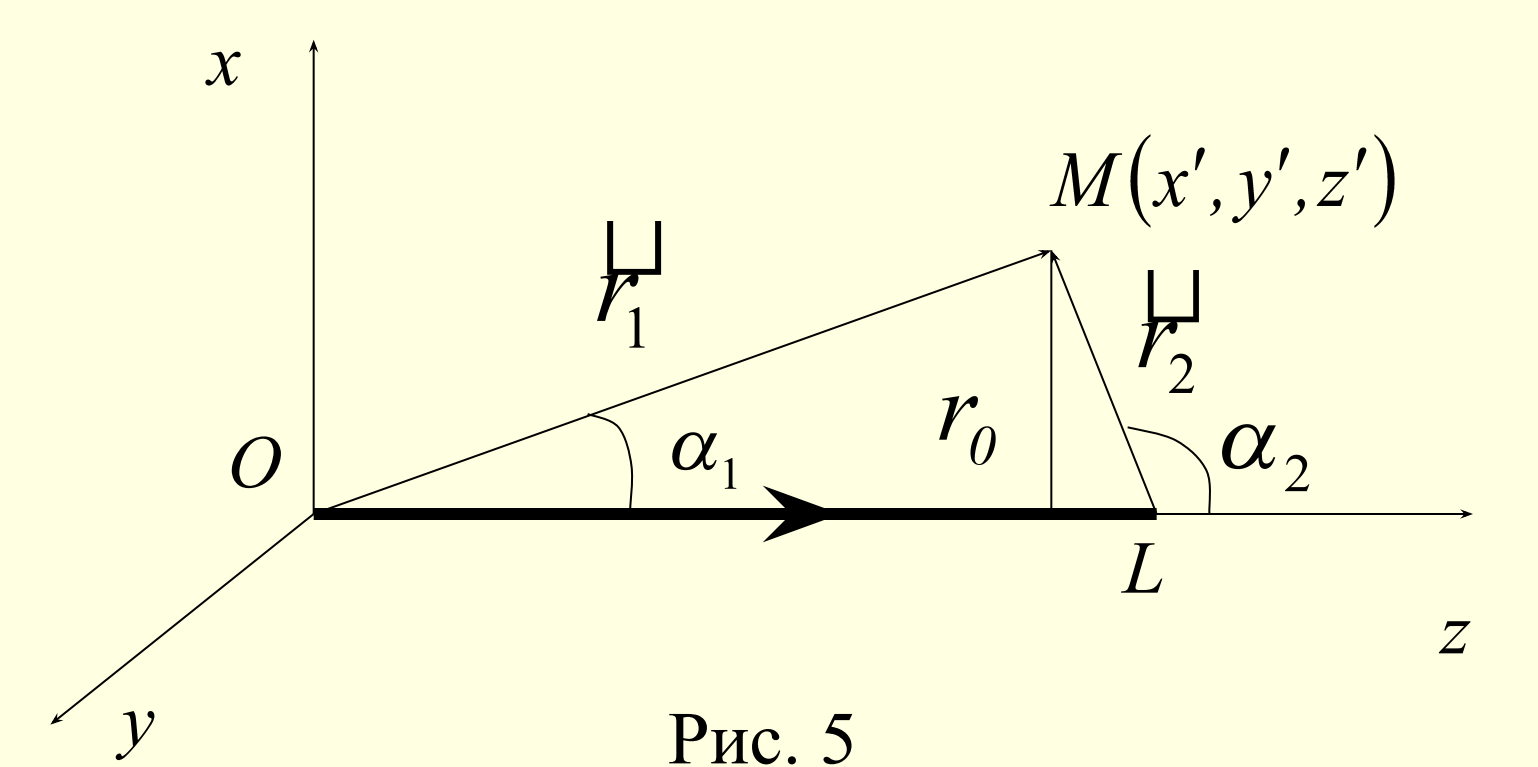
$$\vec{A} = \vec{A}_{\rm O} + \vec{A}_{\rightarrow} \tag{9}$$

$$\vec{B} = rot \vec{A} = rot \vec{A}_{O} \tag{10}$$

$$B^* = -div\vec{A} = div\vec{A}$$

### СМП токового отрезка конечной длины

$$H^{*}(x',y',z') = \frac{J}{4\pi} \frac{(r_{1} - r_{2})}{r_{1}r_{2}} = \frac{J}{4\pi r_{0}} \left( \sin \alpha_{1} - \sin \alpha_{2} \right) \quad (12)$$



### Распределение СМП вдоль отрезка тока

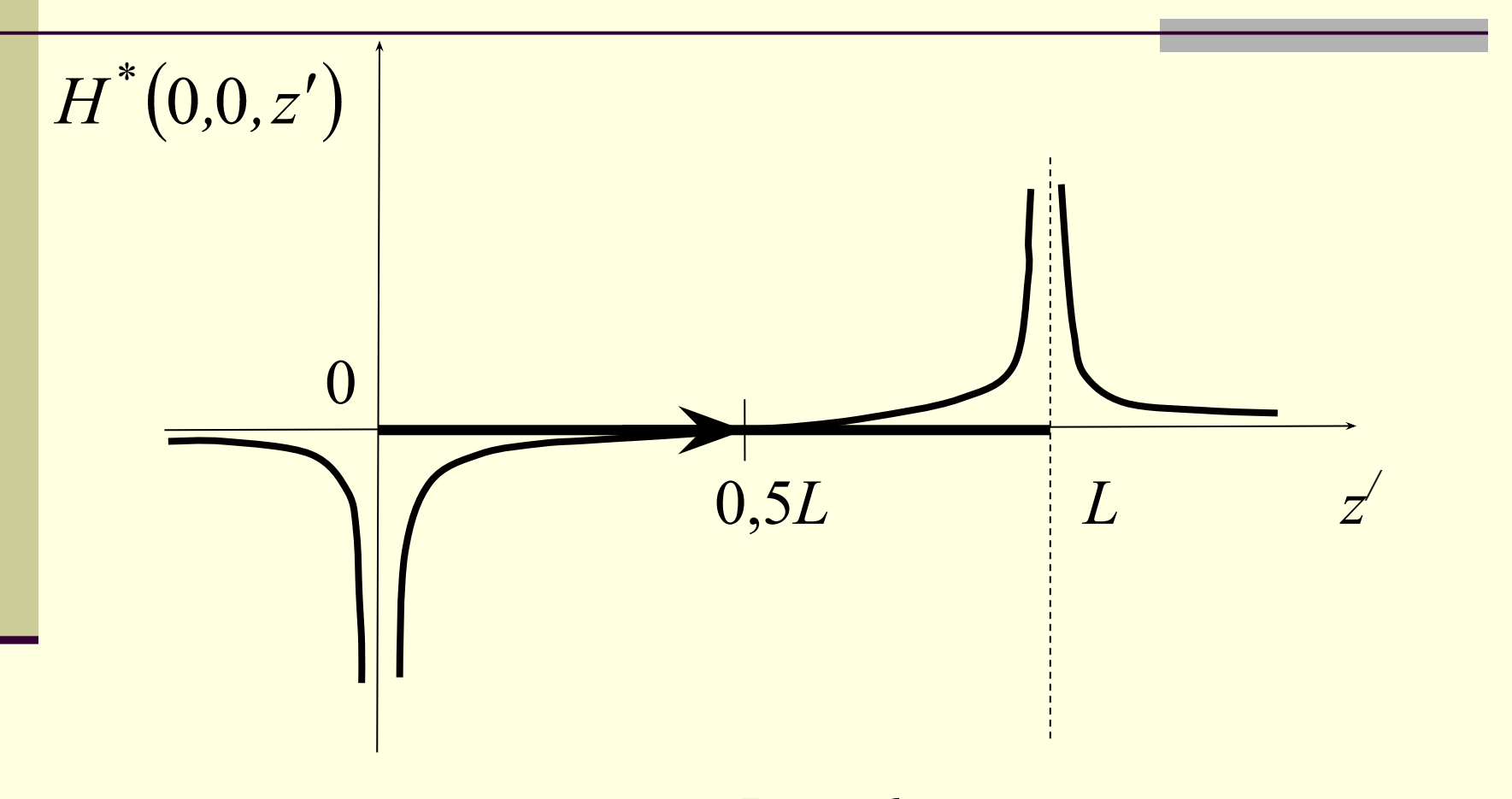


Рис. 6

# Условное изображение магнитного поля токового отрезка

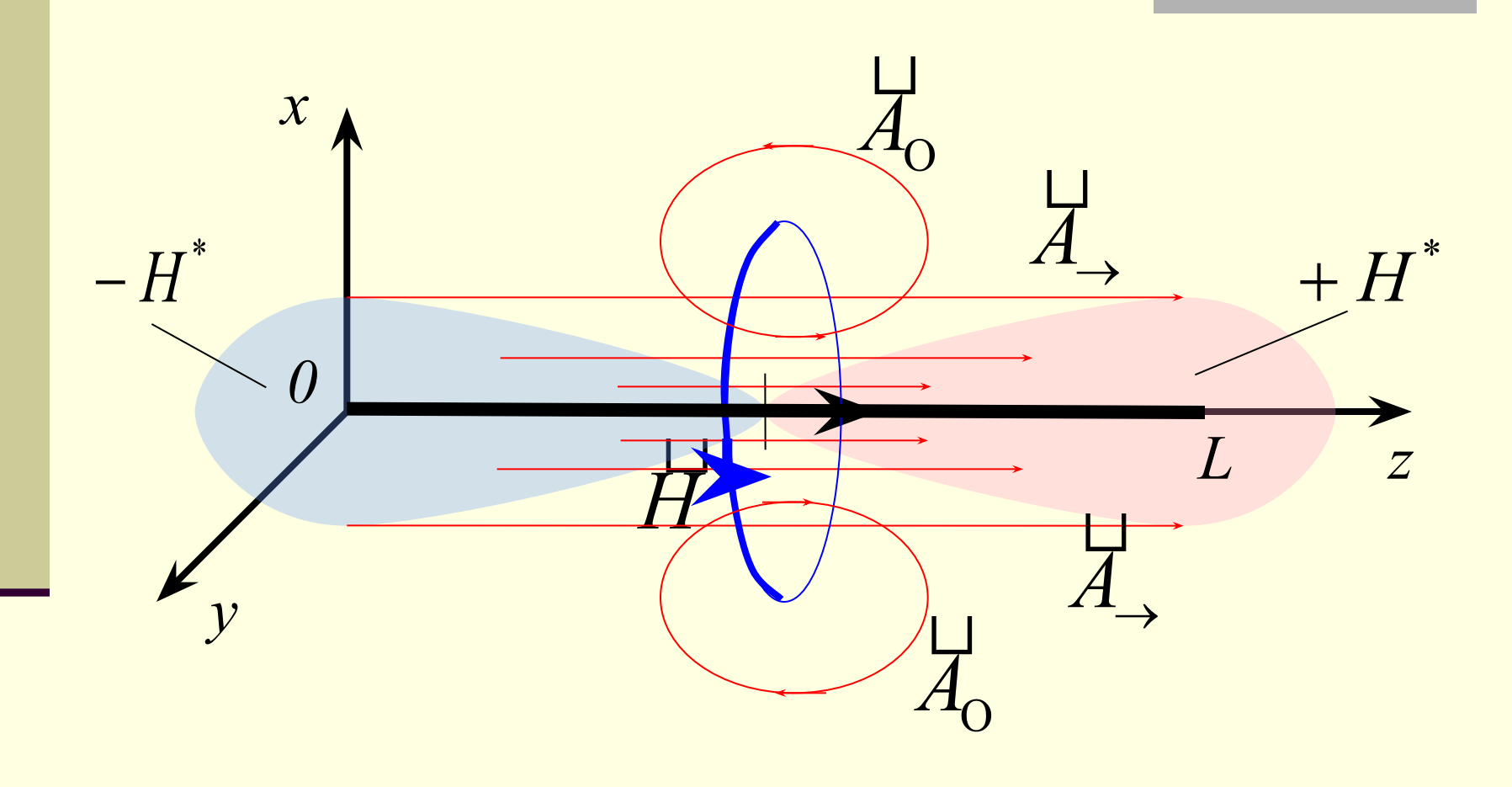


Рис. 7

# Условное изображение магнитного поля движущегося заряда

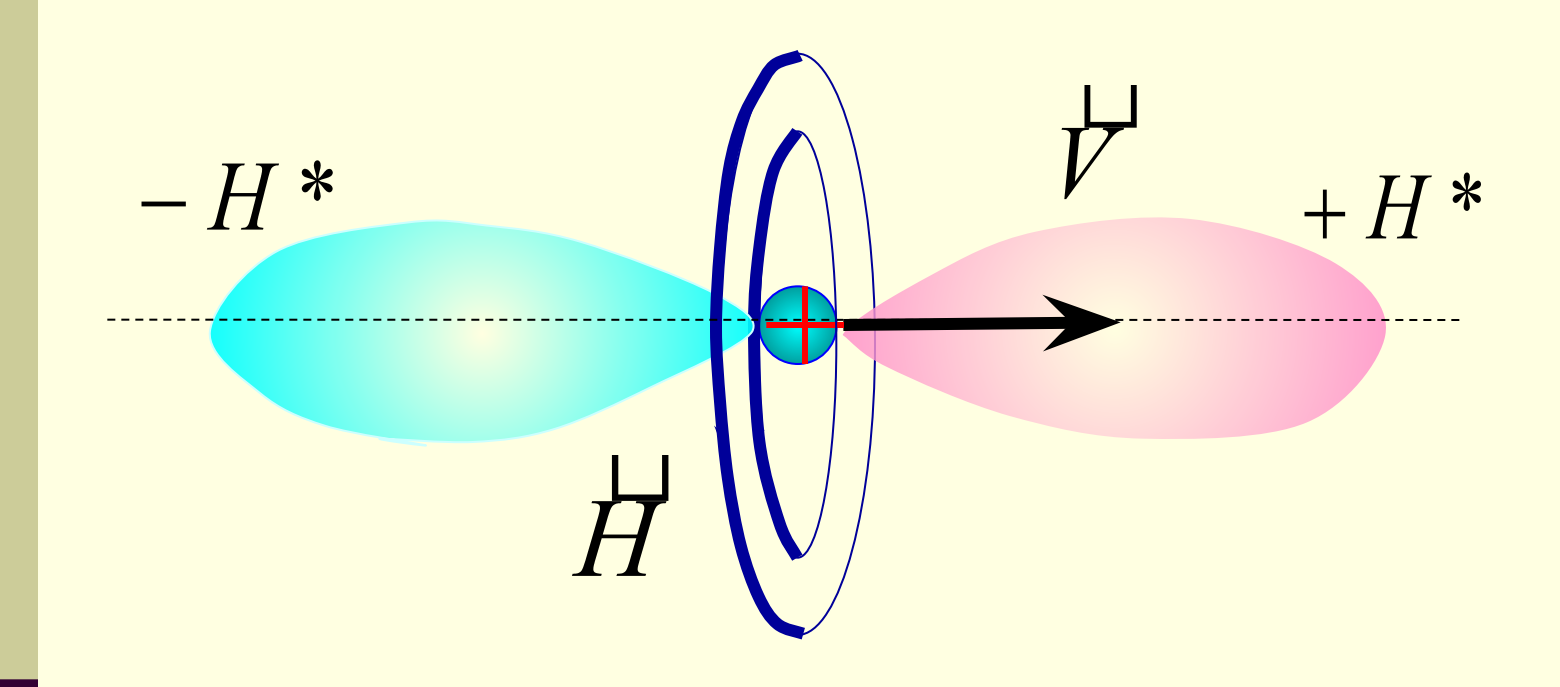
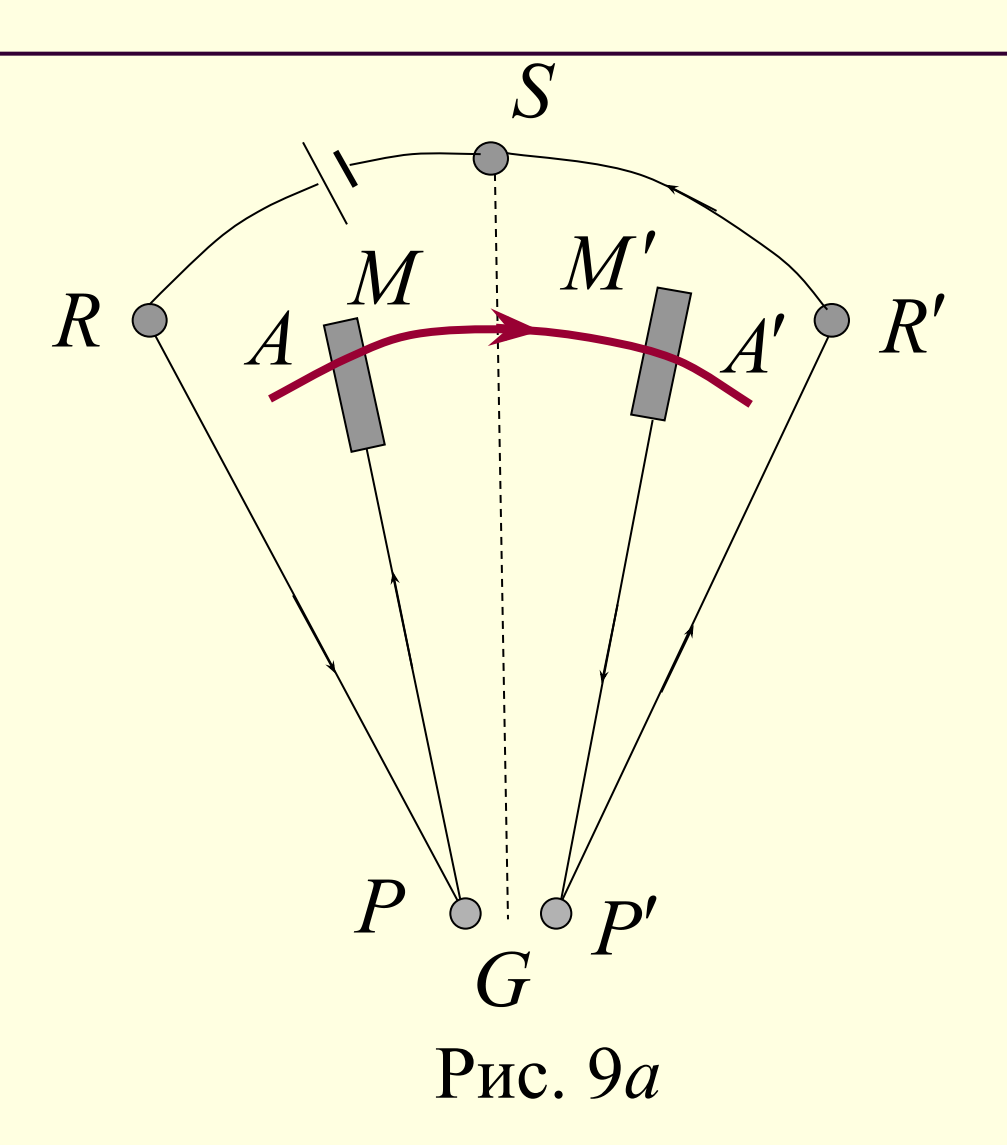
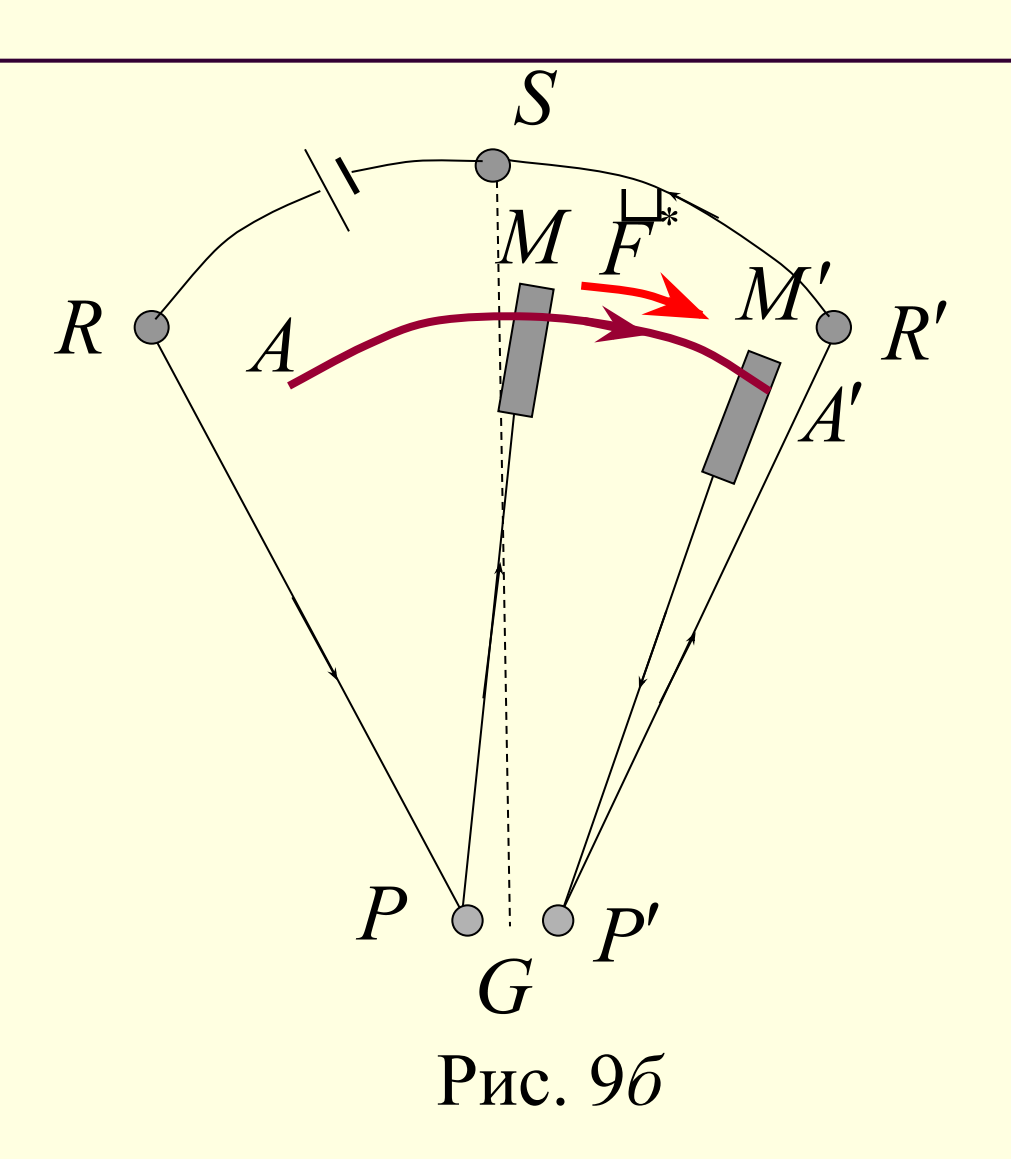


Рис. 8

# Опыт Ампера (1)



# Опыт Ампера (1)



# Опыт Ампера (2)

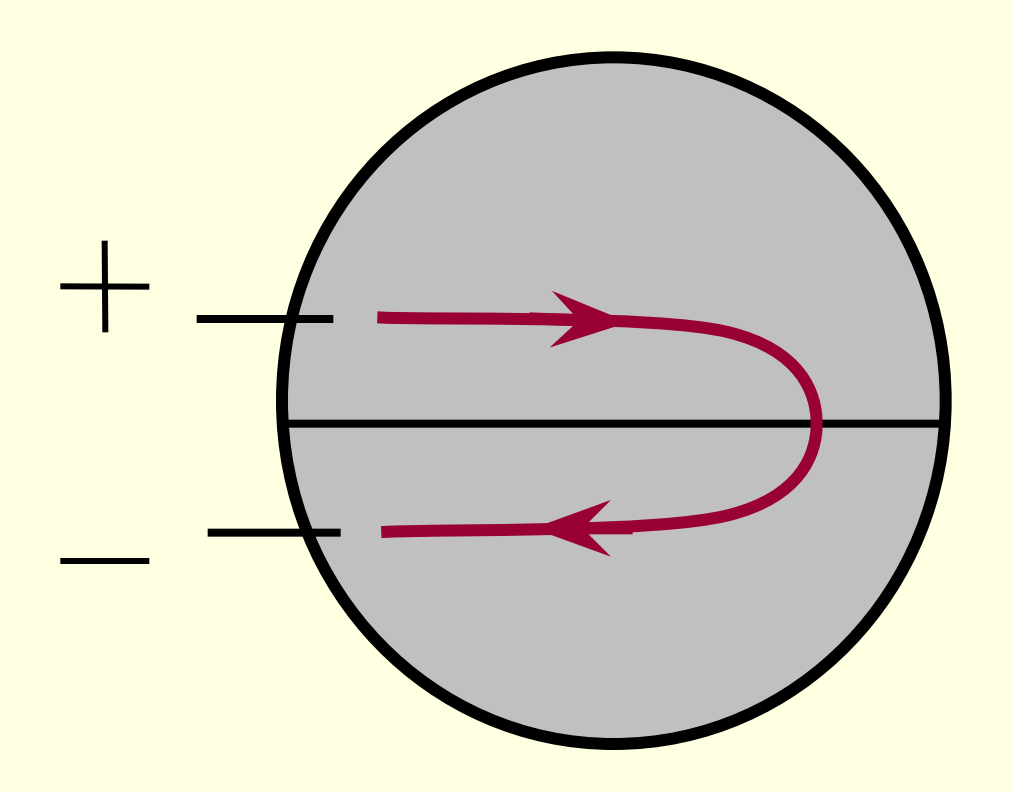


Рис. 10

### Закон Ампера

$$dF_{21}^{A} = \frac{\mu_{0}\mu J_{1}J_{2}}{4\pi} \left\{ \frac{3}{r_{21}^{5}} \left( dS_{1} \cdot r_{21} \right) \left( dS_{2} \cdot r_{21} \right) - \frac{2}{r_{21}^{3}} \left( dS_{1} \cdot dS_{2} \right) \right\} r_{21}$$

$$- \frac{2}{r_{21}^{3}} \left( dS_{1} \cdot dS_{2} \right) r_{21}$$

# Объяснение опытов Ампера на основе закона Ампера

$$F_{21} = -F_{12}$$

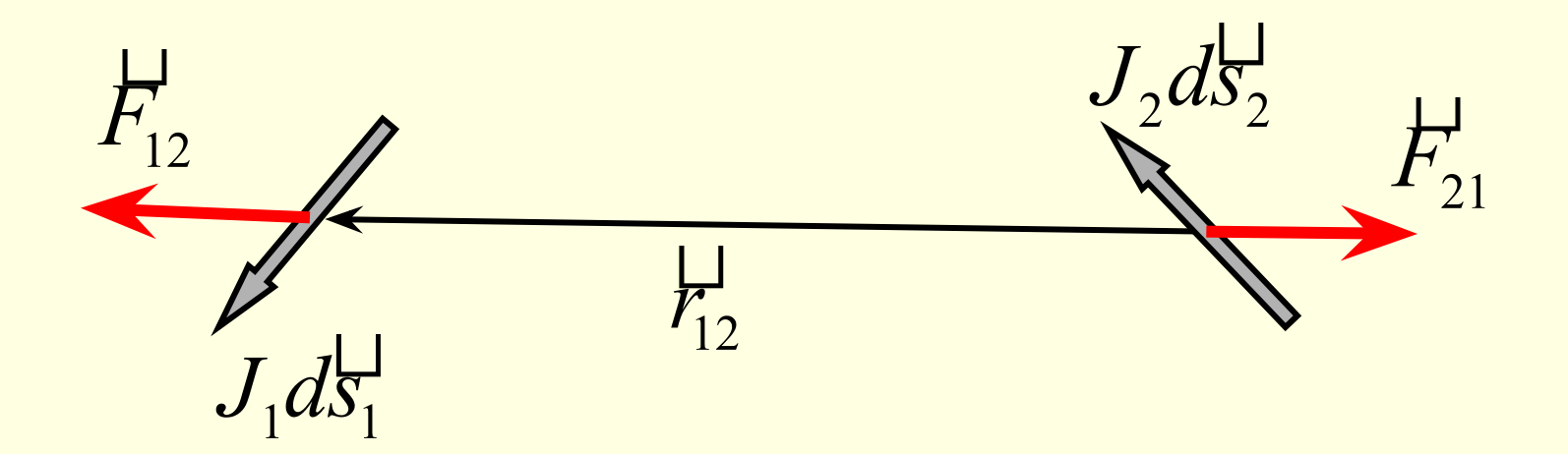


Рис. 11

#### Сила Николаева Г.В.

$$F_q^* = qB^*V \tag{14}$$

#### Сила Николаева Г.В.

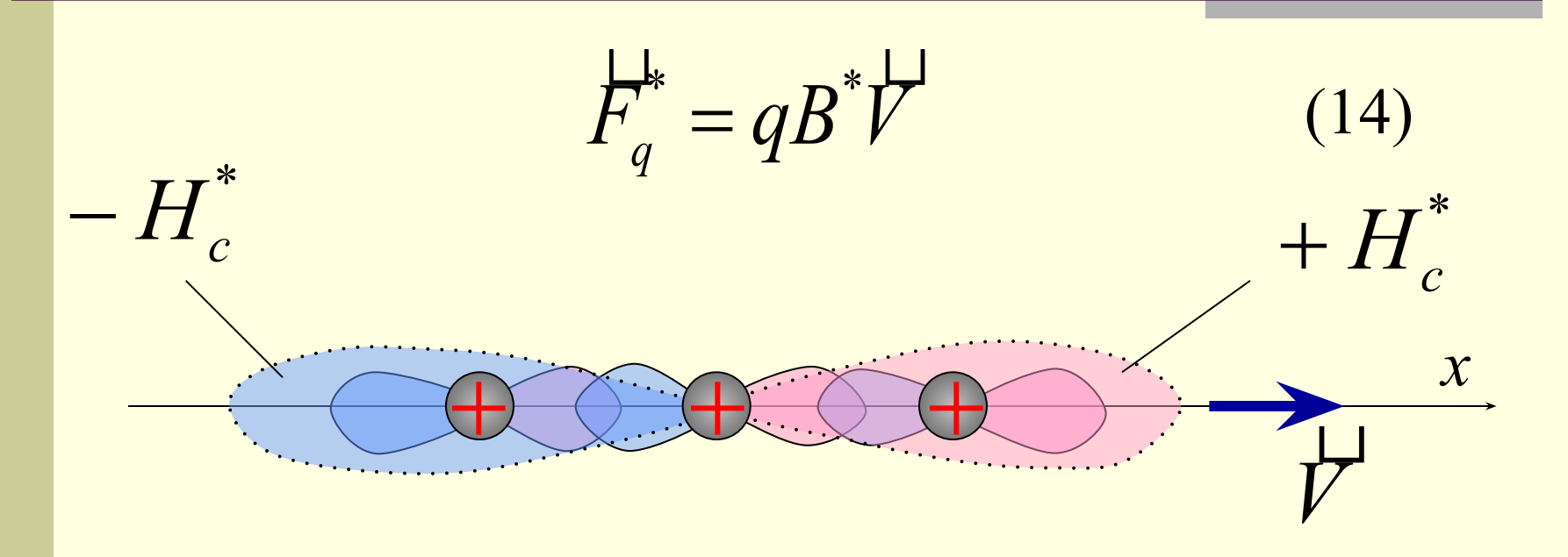
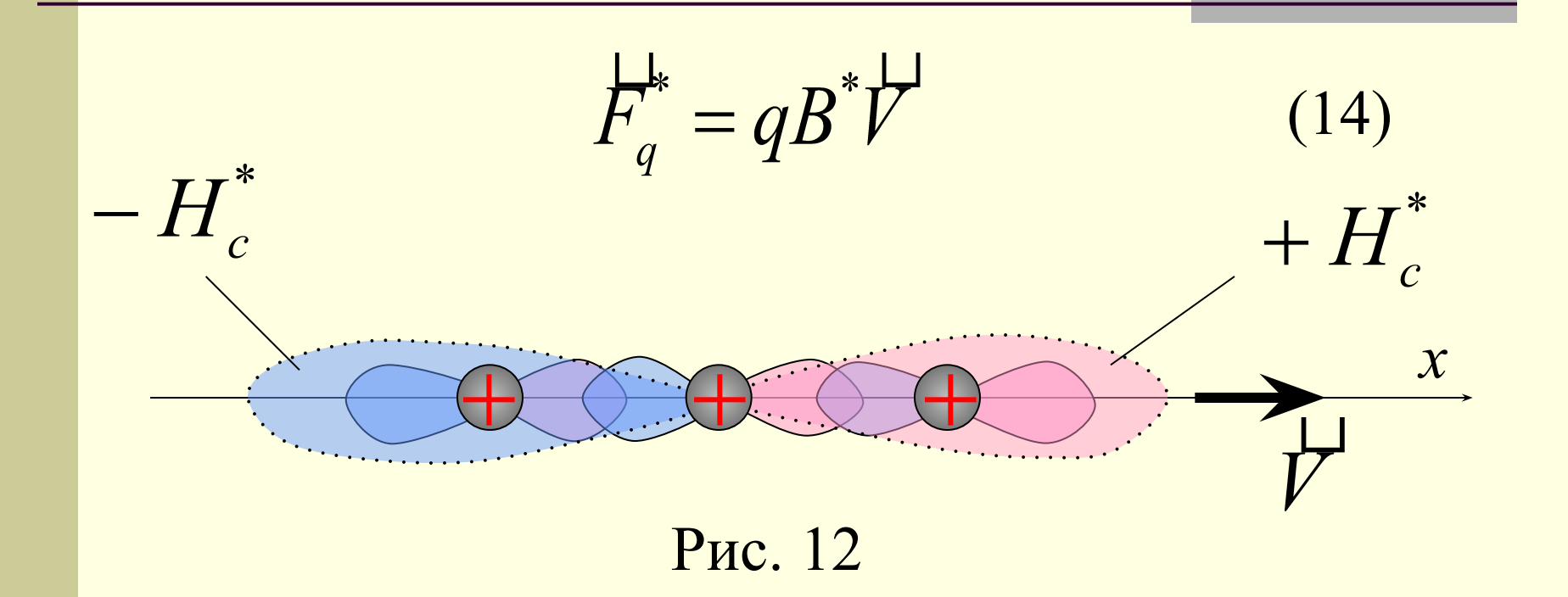


Рис. 12

#### Сила Николаева Г.В.



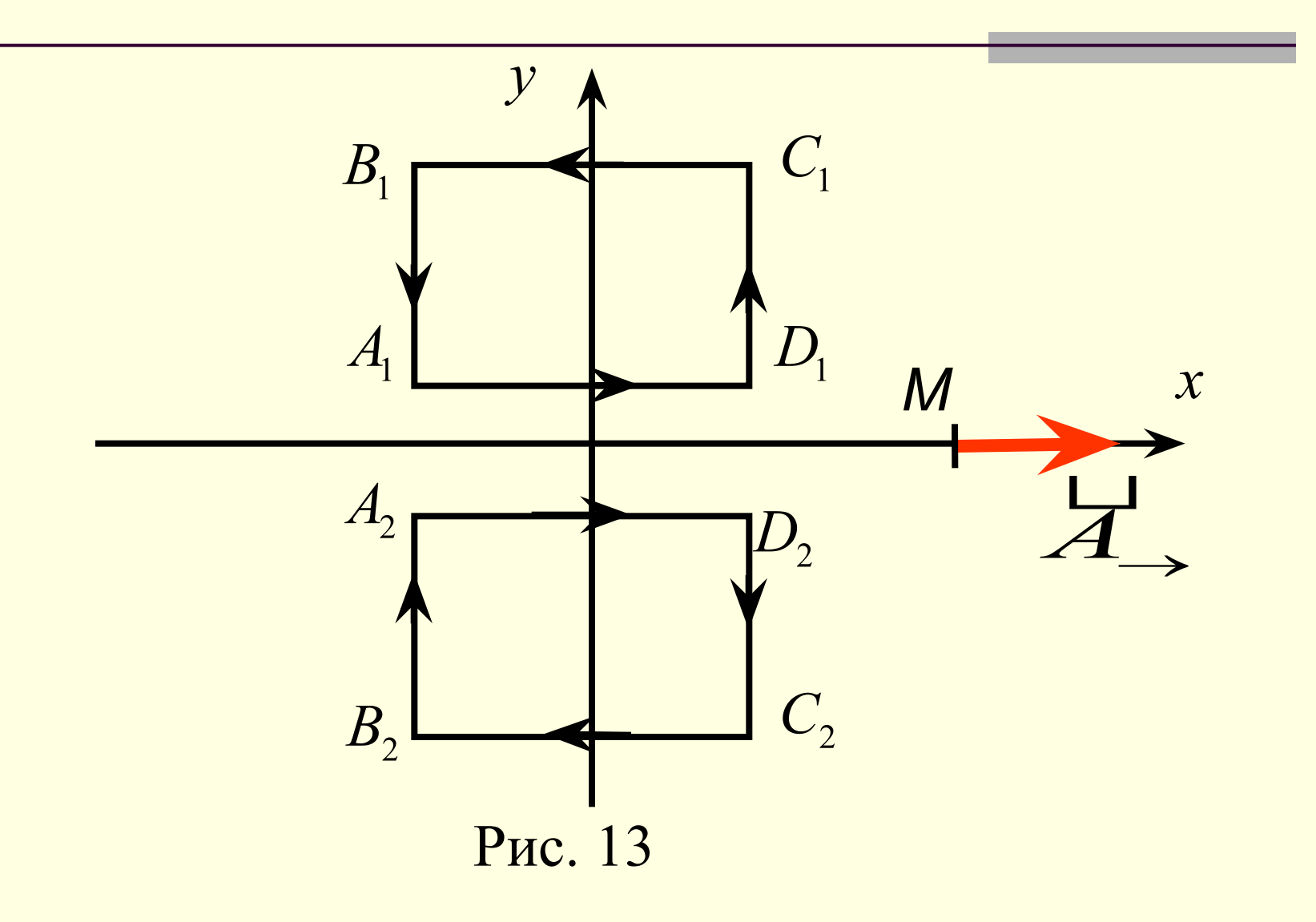
$$f^* = B^* gradH_c^* \tag{15}$$

# Обобщенный закон электромагнитного взаимодействия

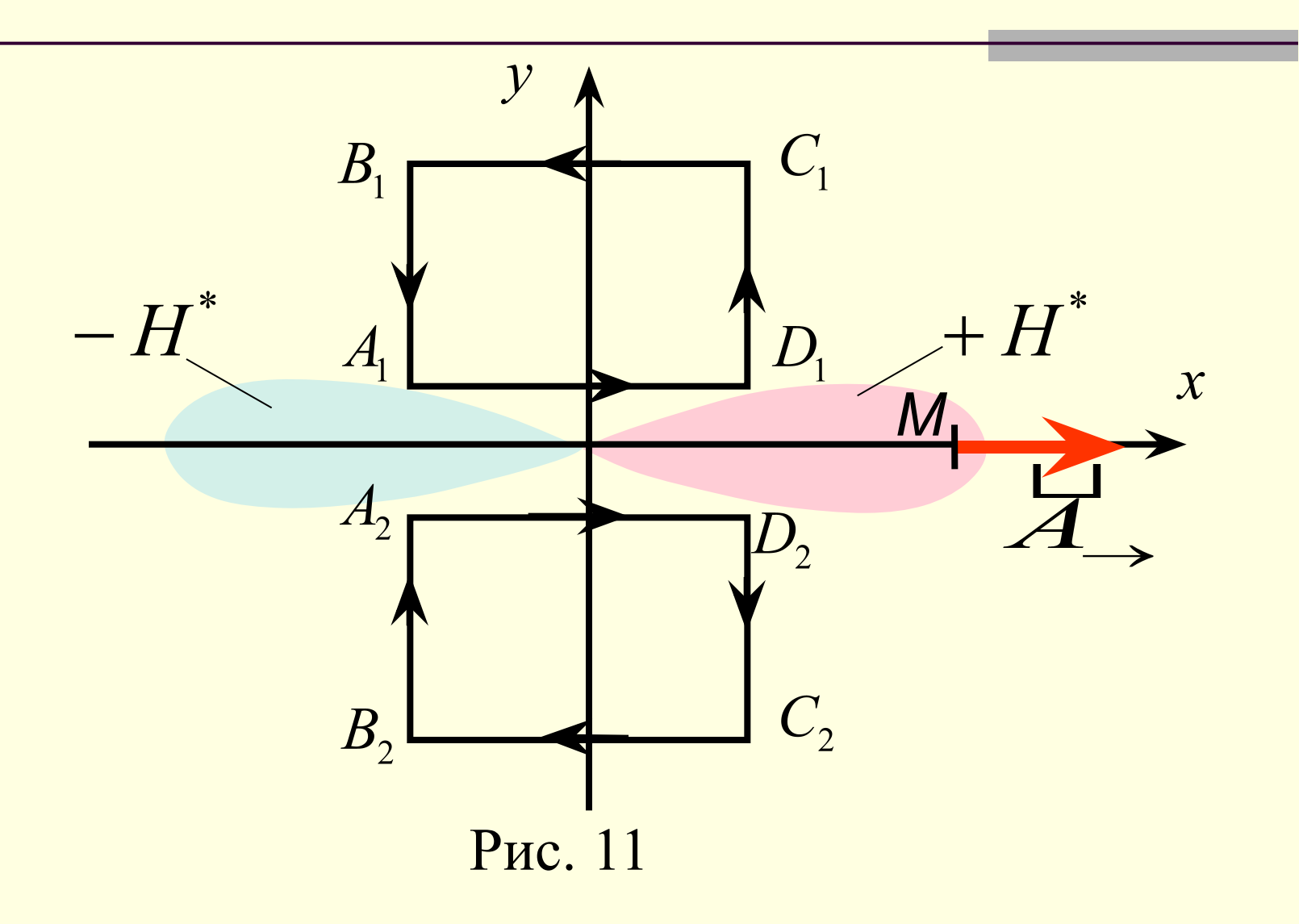
$$f = rotH_c \times B + B^* gradH_c^*$$
 (16)

В положительном внешнем СМП продольная сила направлена по току, а в отрицательном – против тока

# СМП, образованное двумя контурами



### СМП, образованное двумя контурами



### Напряженность СМП на оси x

$$H^*(x',0) = \frac{J}{2\pi} \left[ \frac{(r_1 - r_2)}{r_1 r_2} + \frac{(r_3 - r_4)}{r_3 r_4} \right]$$
(17)

где 
$$r_1 = A_1 M = A_2 M$$
  $r_2 = B_1 M = B_2 M$ 

$$r_3 = C_1 M = C_2 M$$
  $r_4 = D_1 M = D_2 M$ 

# СМП тороида

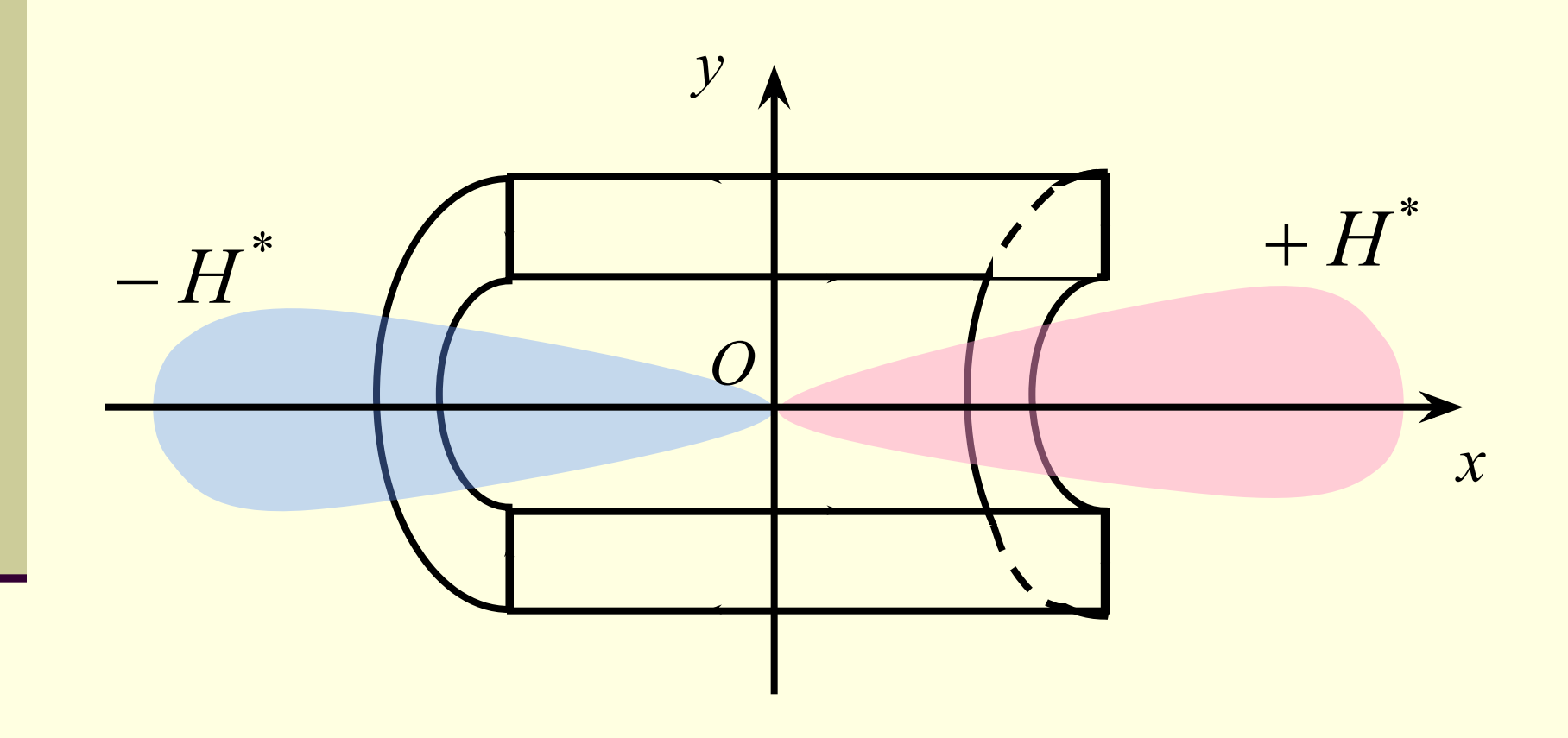


Рис. 14

### Напряженность СМП на оси тороида

$$H^{*}(x',0) = n \frac{J}{2\pi} \left[ \frac{(r_{1} - r_{2})}{r_{1}r_{2}} + \frac{(r_{3} - r_{4})}{r_{3}r_{4}} \right]$$

$$r_{1} = \sqrt{r_{T}^{2} + (x+h)^{2}}, \quad r_{2} = \sqrt{r_{T}^{2} + (x-h)^{2}},$$

$$r_{3} = \sqrt{R_{T}^{2} + (x-h)^{2}}, \quad r_{4} = \sqrt{R_{T}^{2} + (x+h)^{2}}.$$

$$(17)$$

n — число пар витков обмотки,  $r_T$  ,  $R_T$  , h — высота, внутренний и внешний радиусы тороида

### Магнит Николаева Г.В.

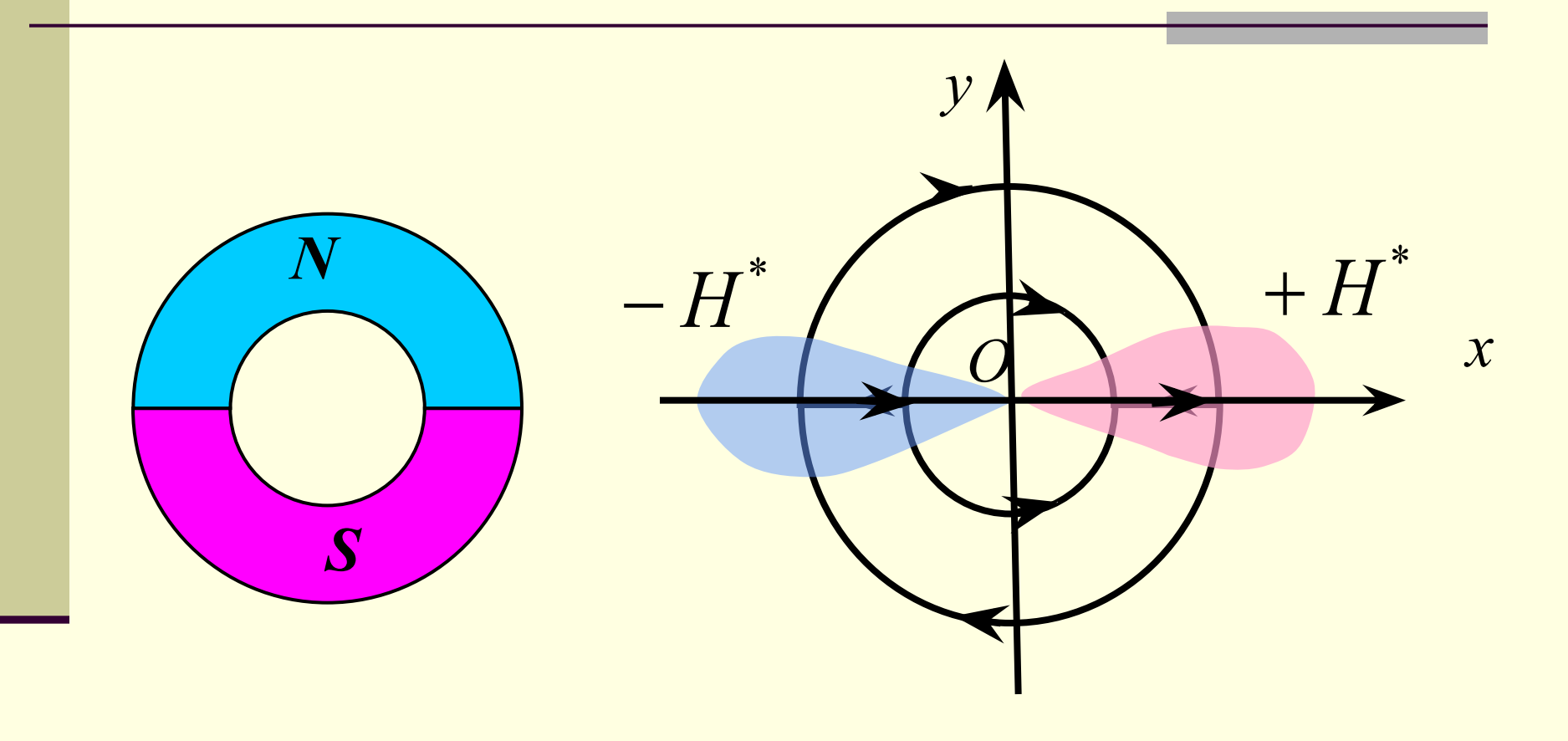
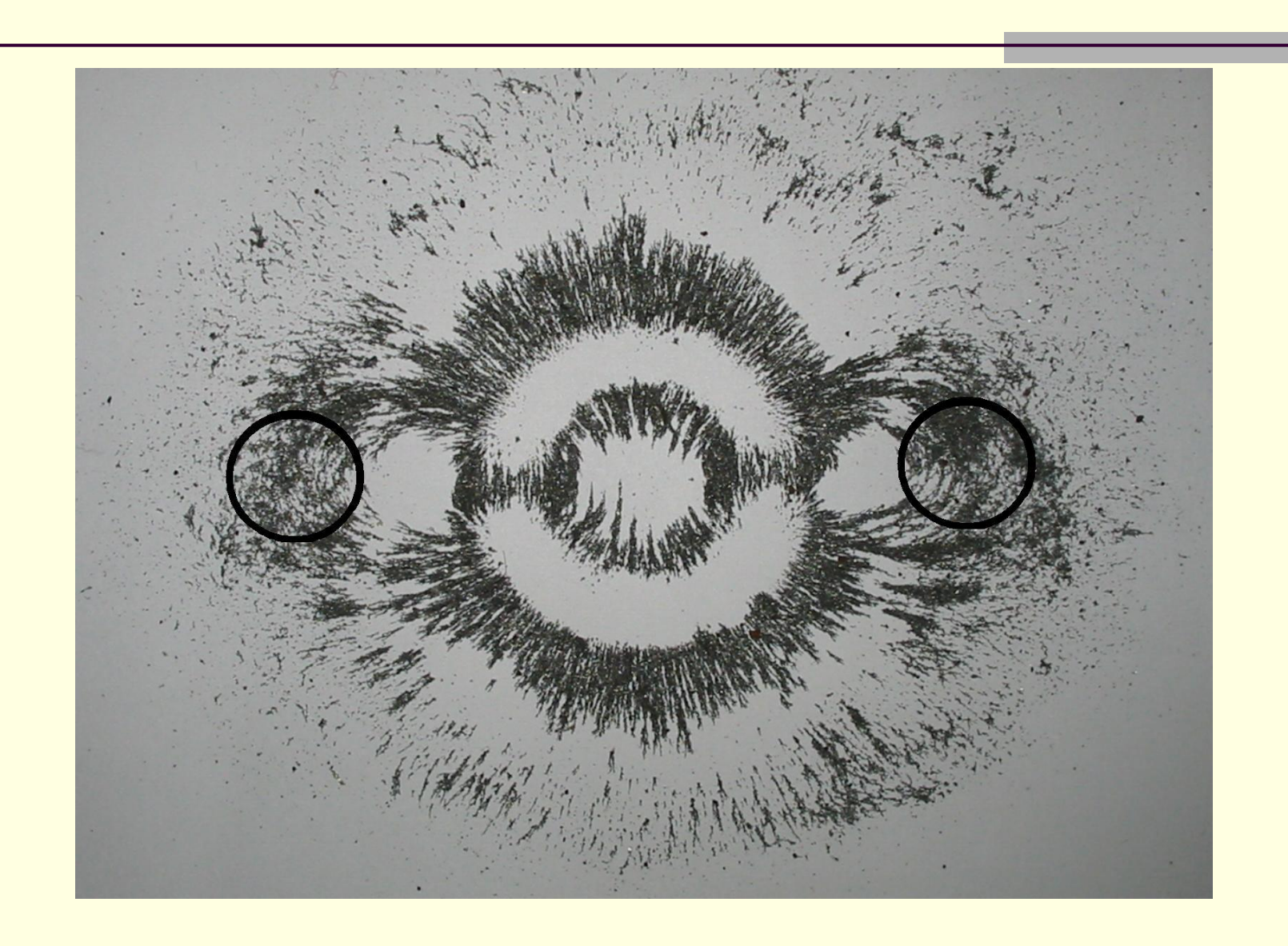
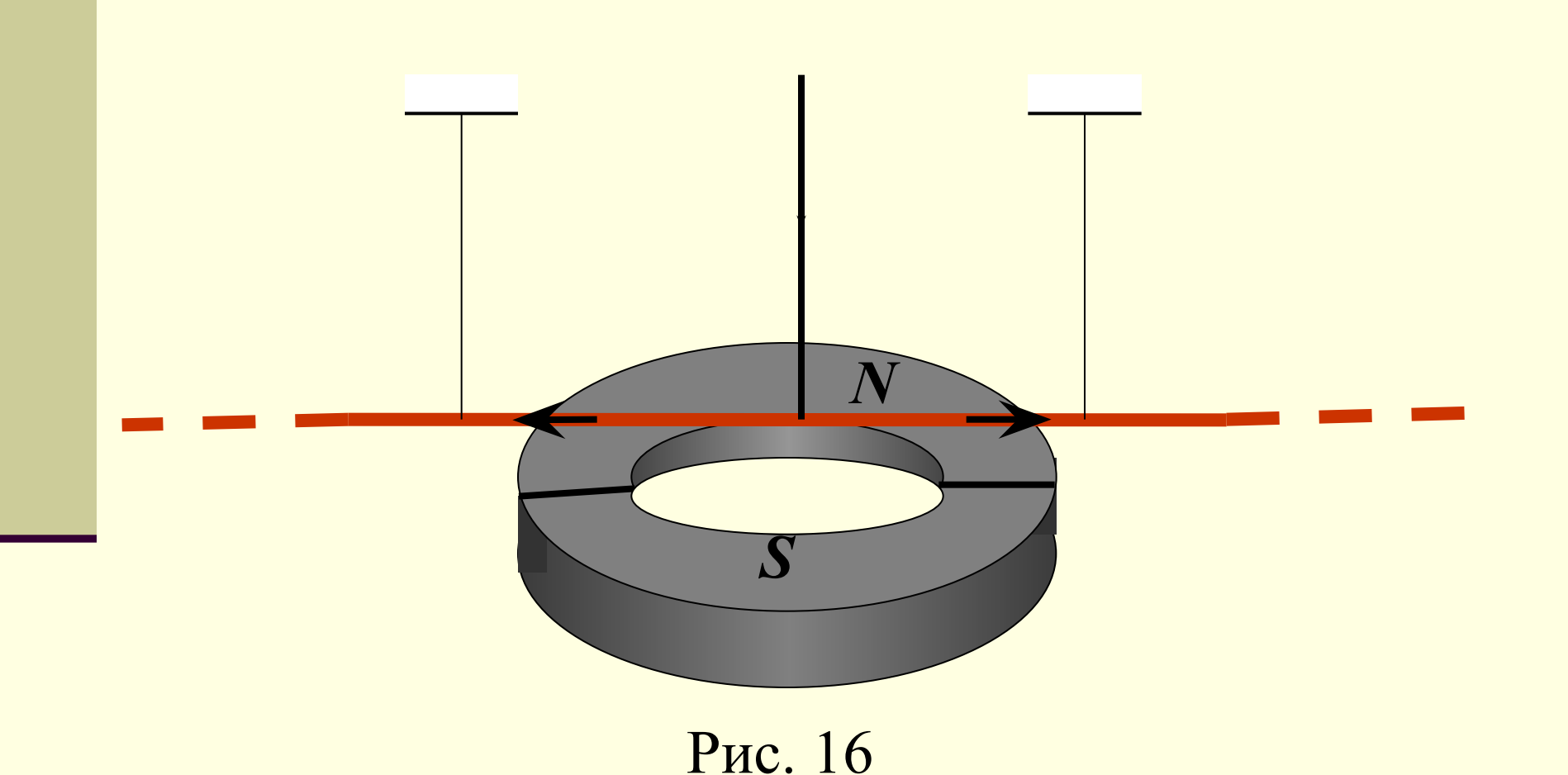


Рис. 15

### Магнит Николаева Г.В.



### Опыт 1 Томилина А.К. и Асылканова Г.Е.



# Опыт 1 *Томилина А.К. и Асылканова Г.Е.* (вид сверху)

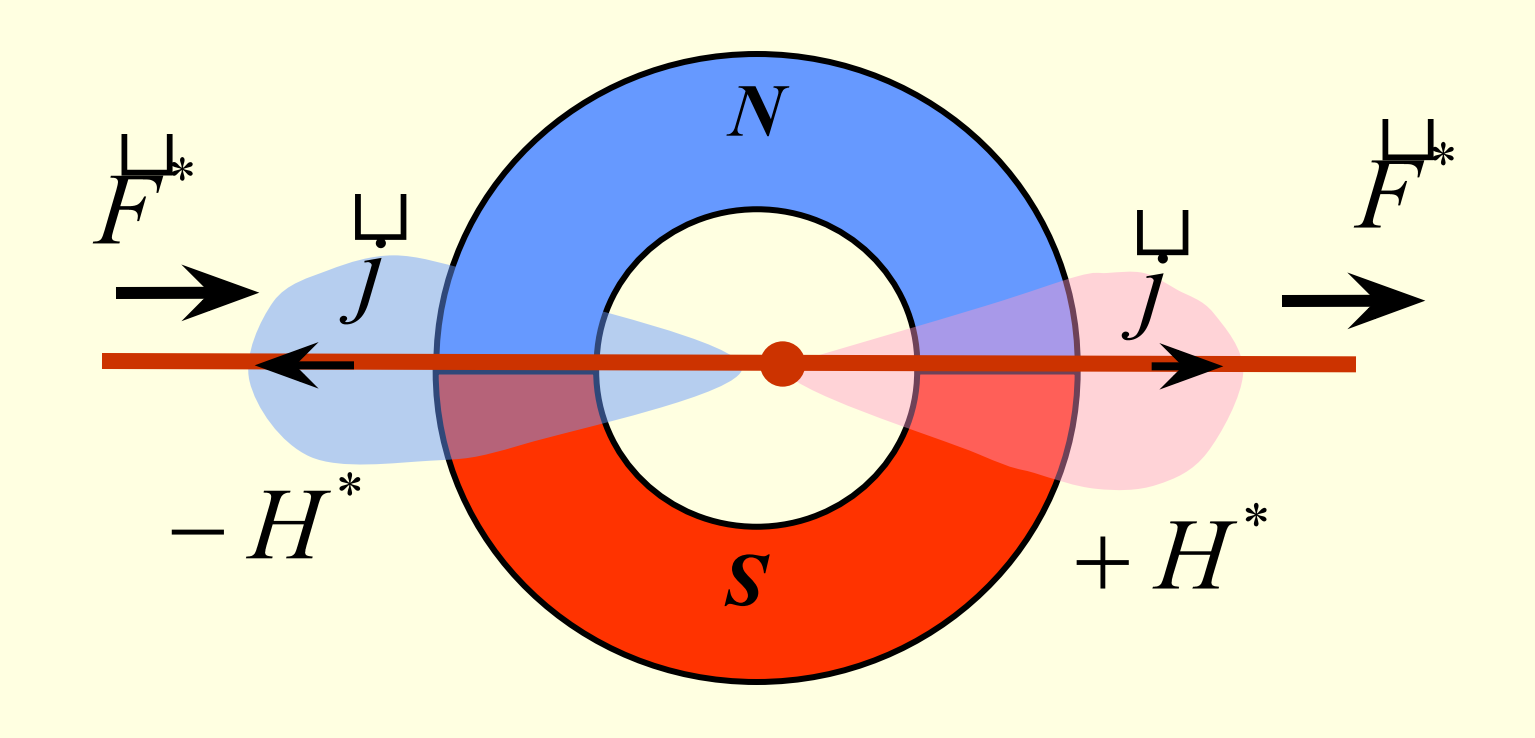


Рис. 17

### Опыт 2 Томилина А.К. и Асылканова Г.Е.

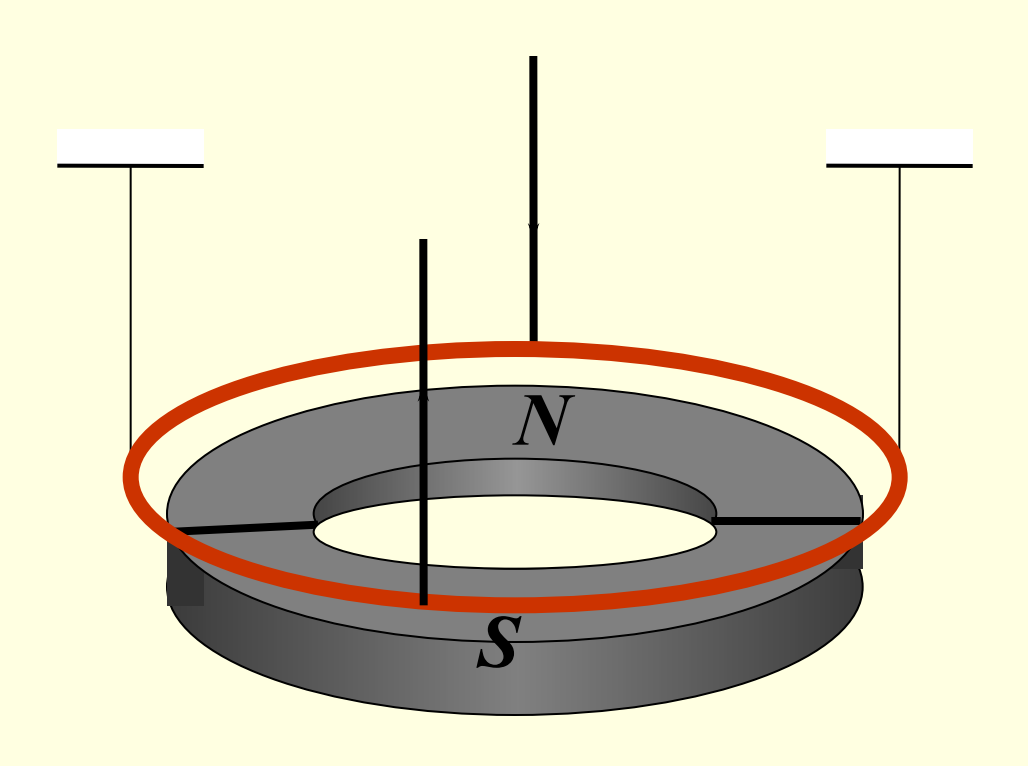


Рис. 18

# Опыт 2 *Томилина А.К. и Асылканова Г.Е.* (вид сверху)

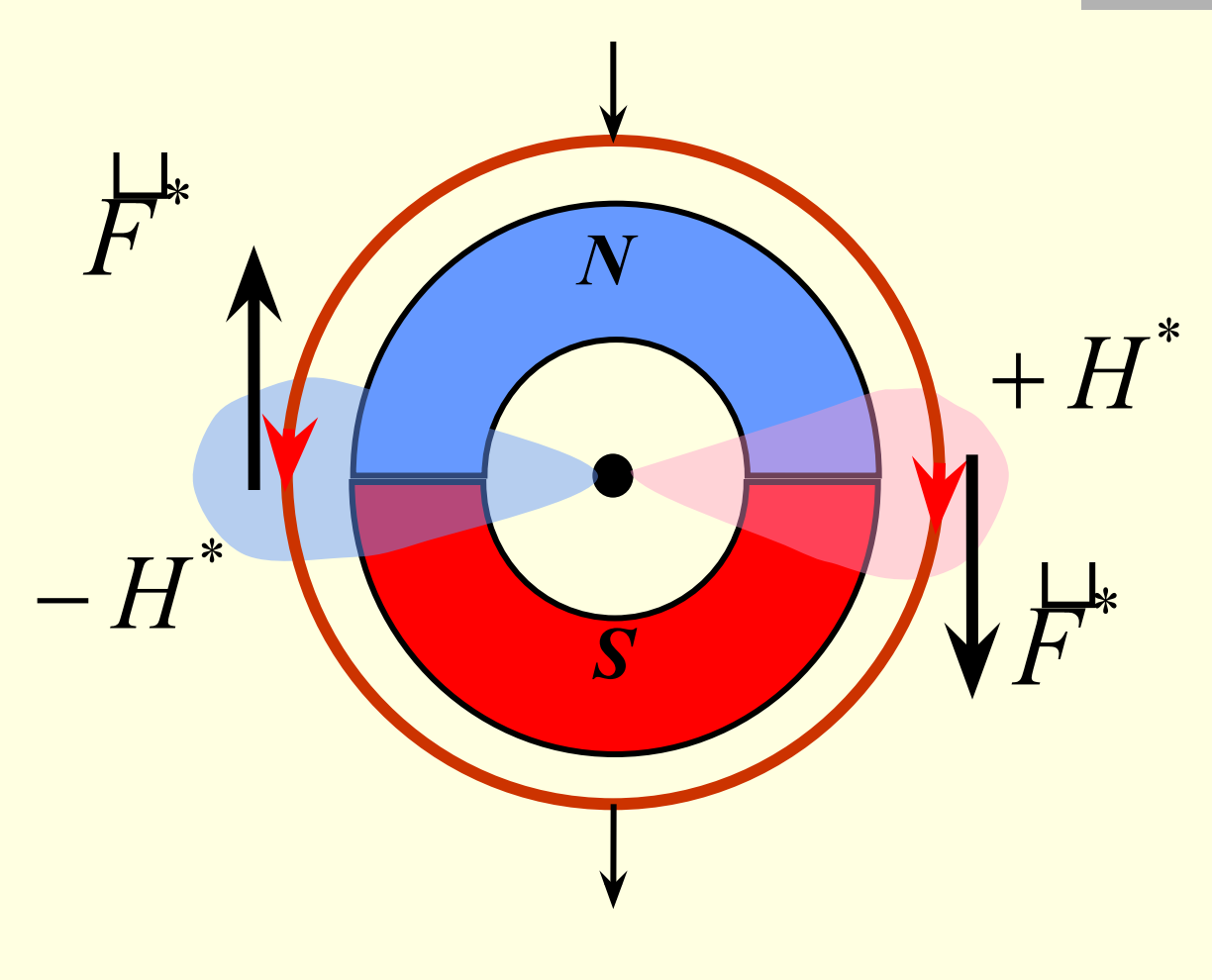
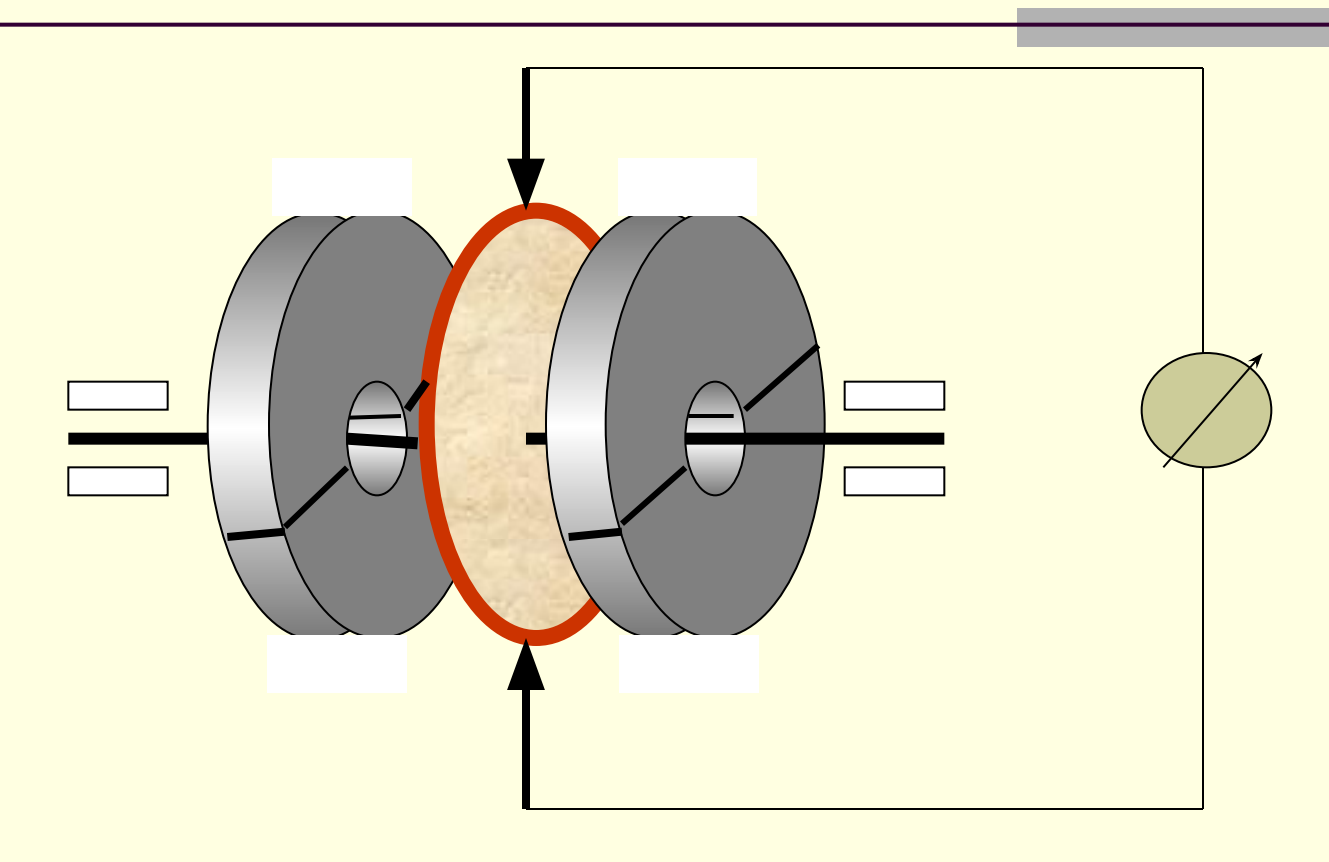


Рис. 19

### Опыт Томилина А.К. и Тупицына О.В.



Генератор продольного электромагнитного взаимодействия

Рис.20

# Опыт 1 Томилина А.К. и Смагулова А.

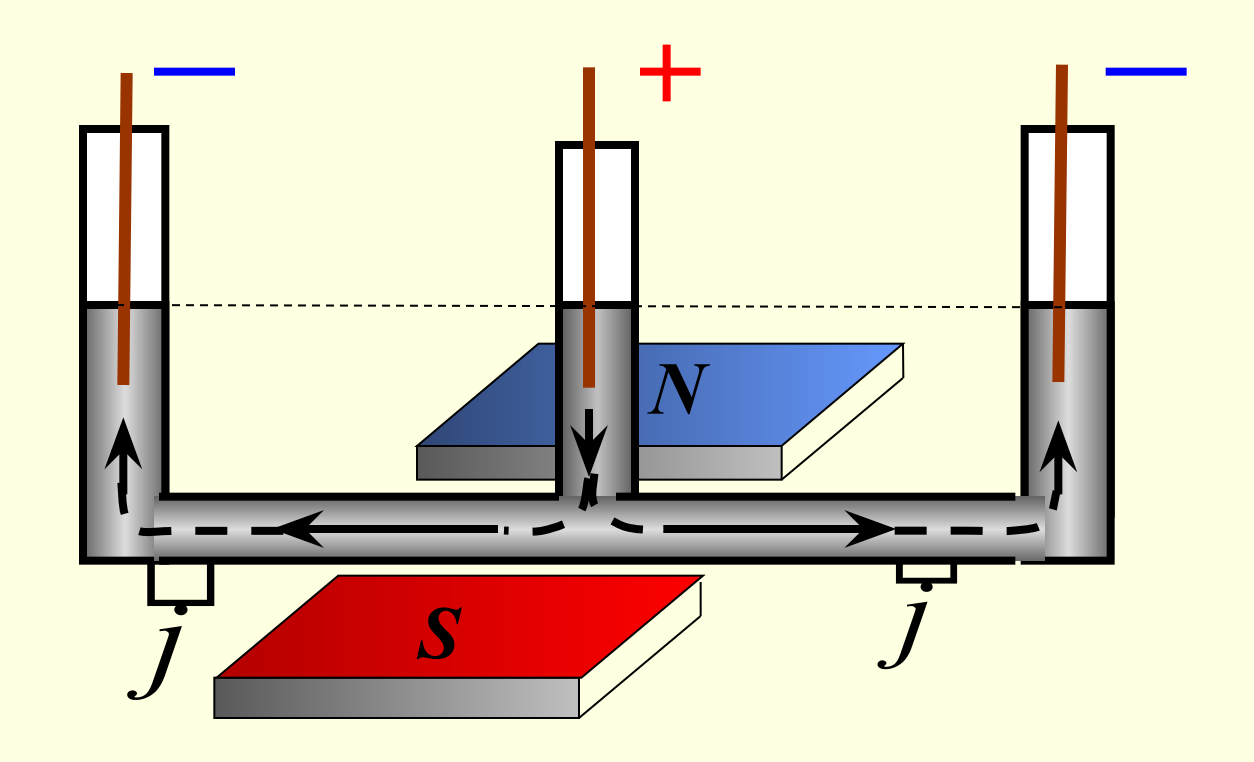


Рис. 21

#### Опыт 1 Томилина А.К. и Смагулова А.

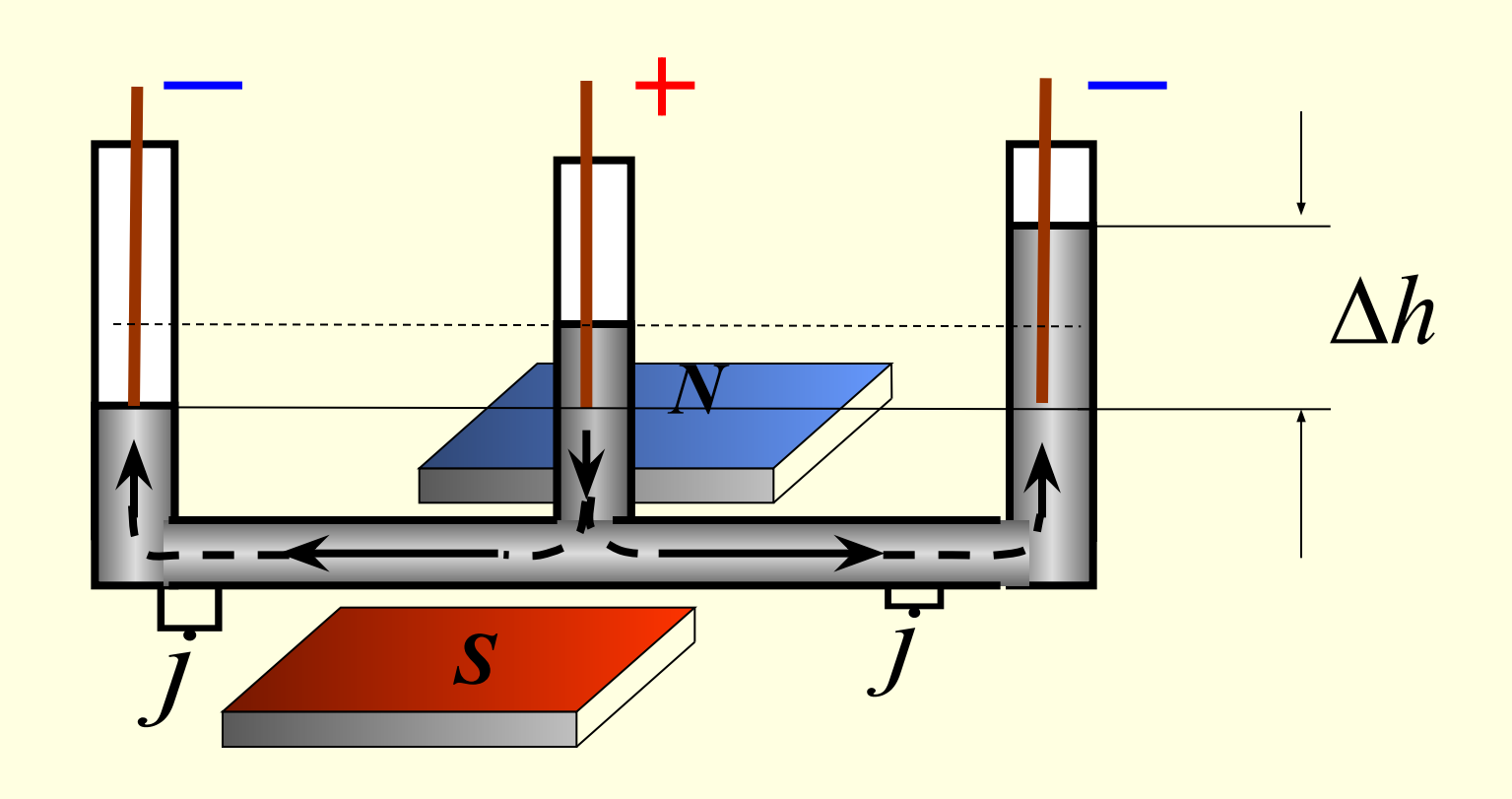


Рис. 21

# Опыт 1 *Томилина А.К. и Смагулова А. (вид сверху)*

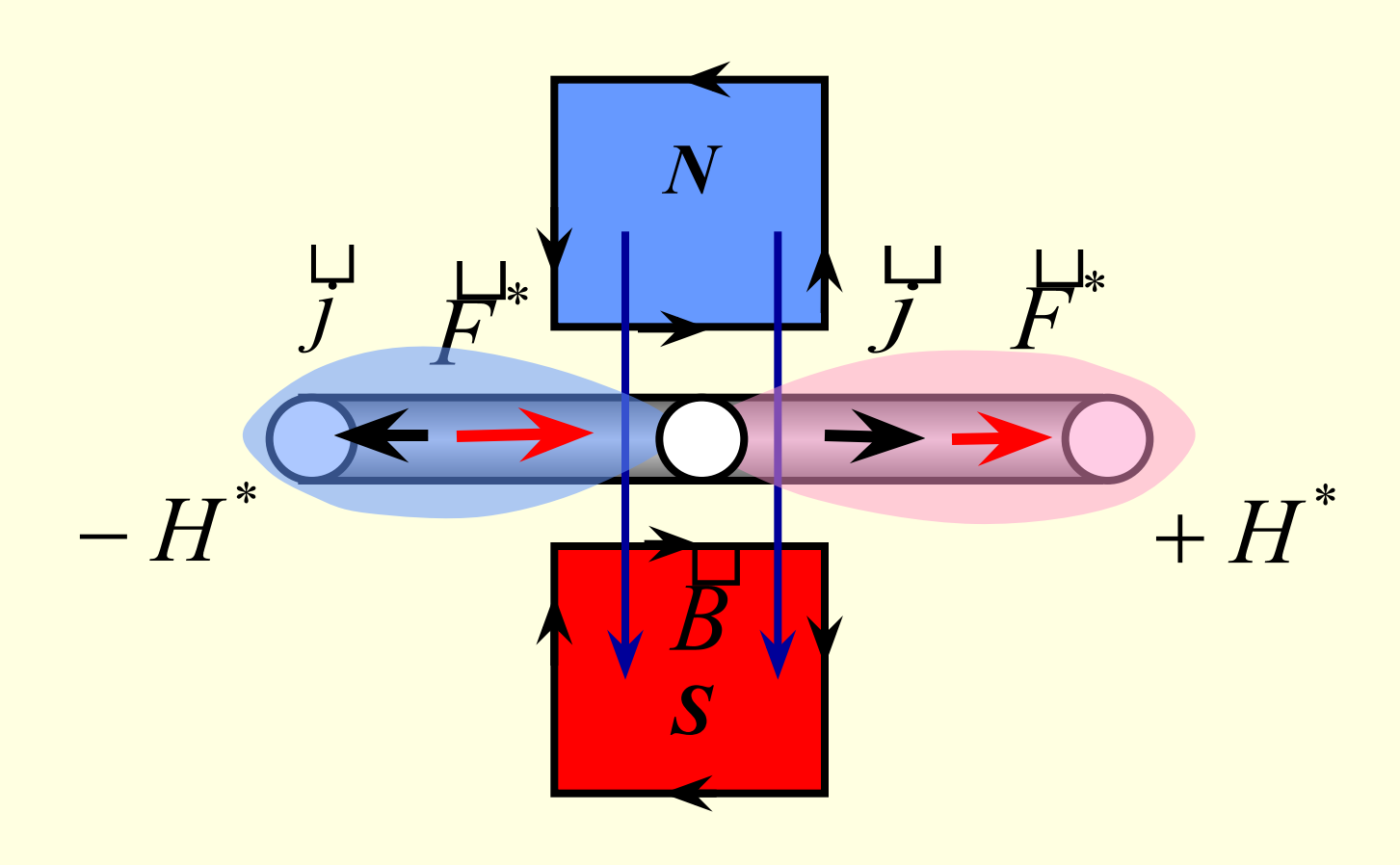


Рис. 22

#### Опыт 2 Томилина А.К и Смагулова А.

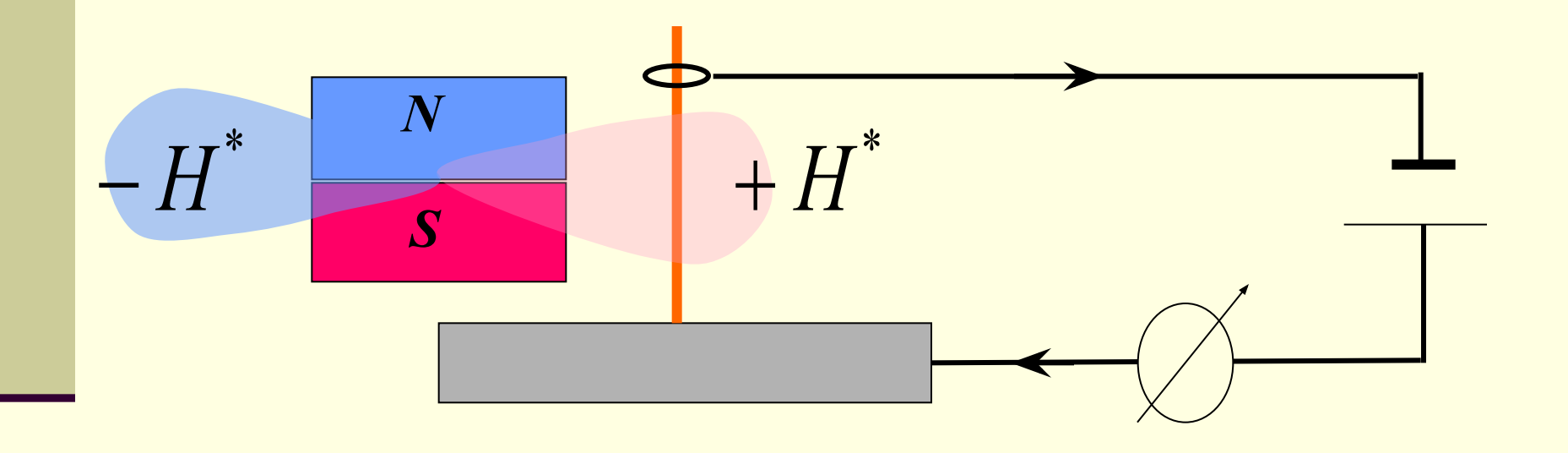


Рис.23

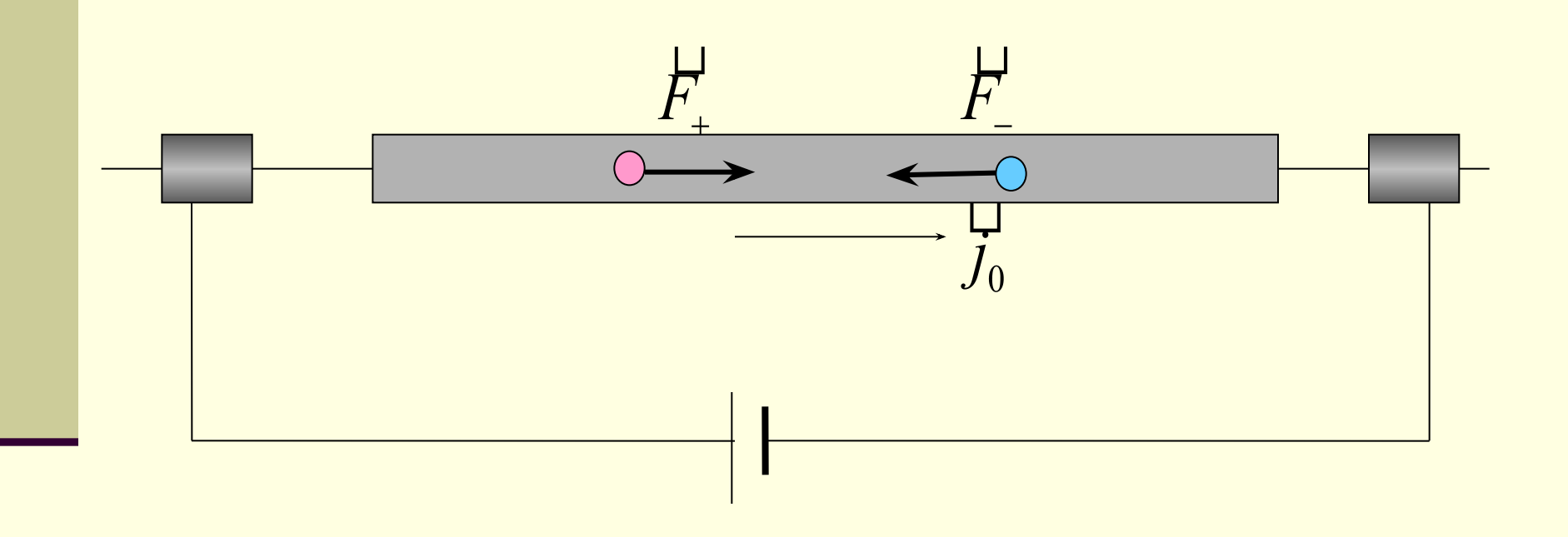
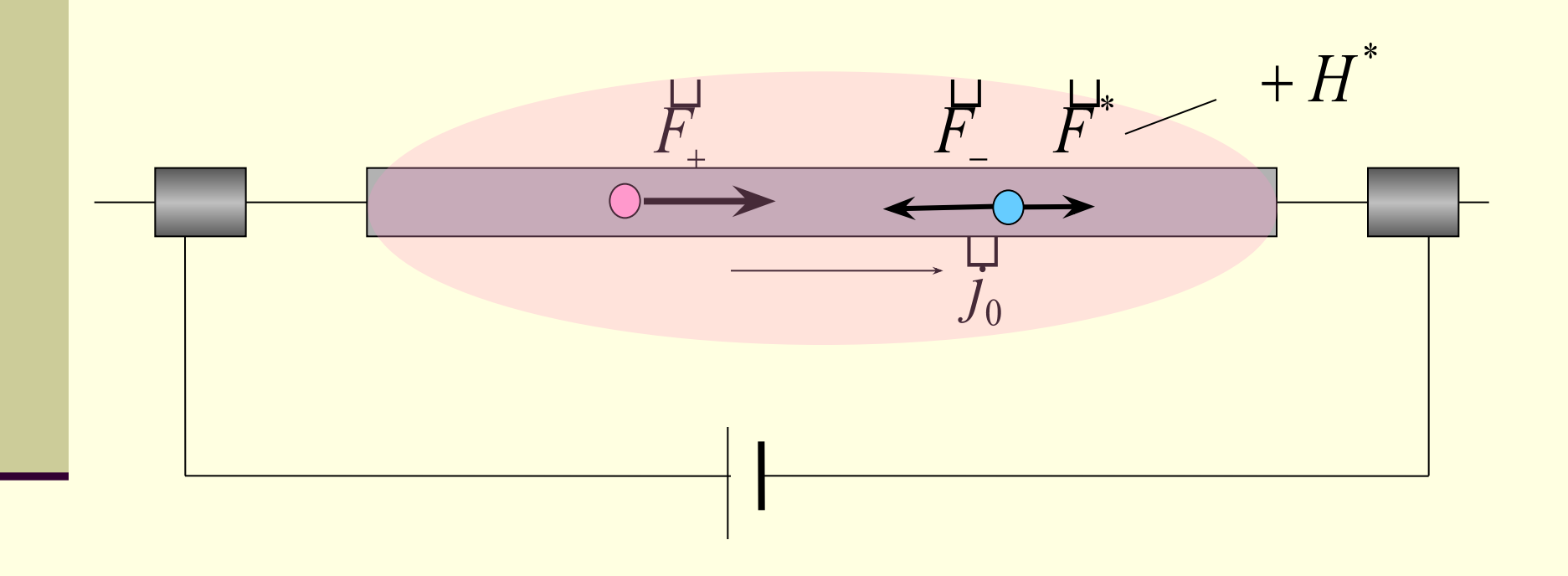


Рис. 24



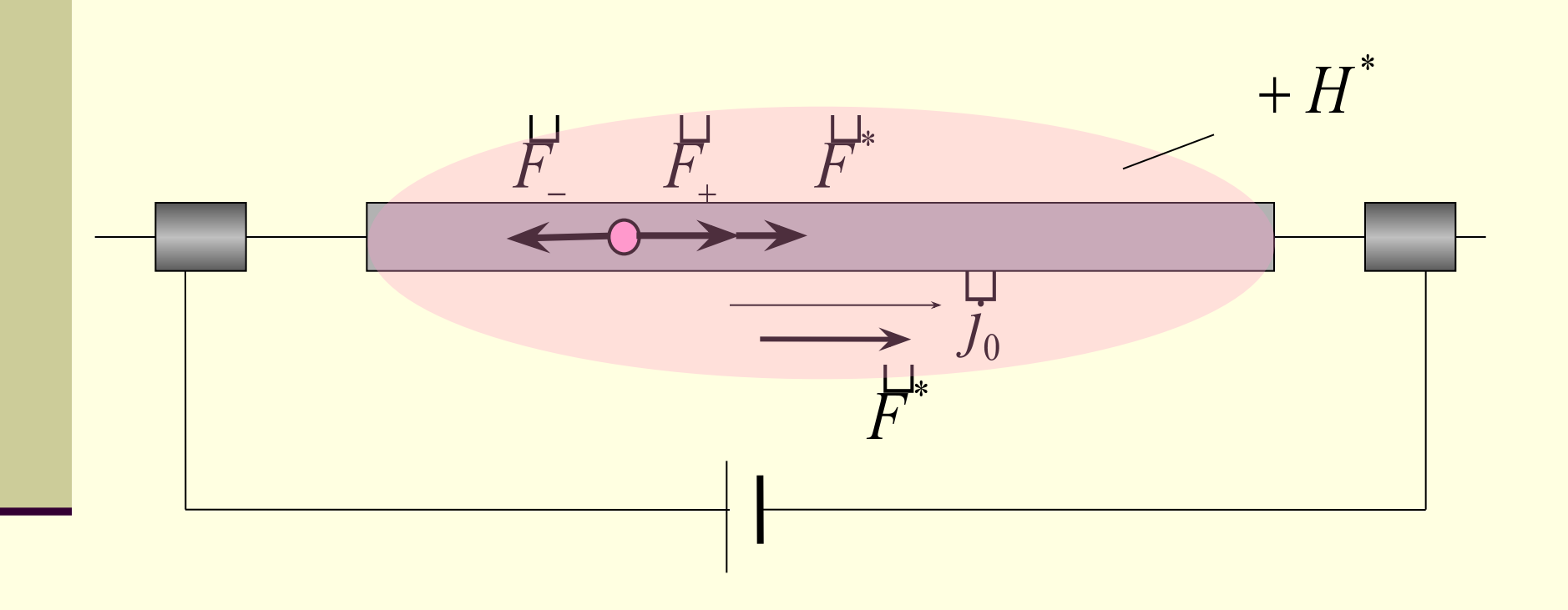


Рис.24

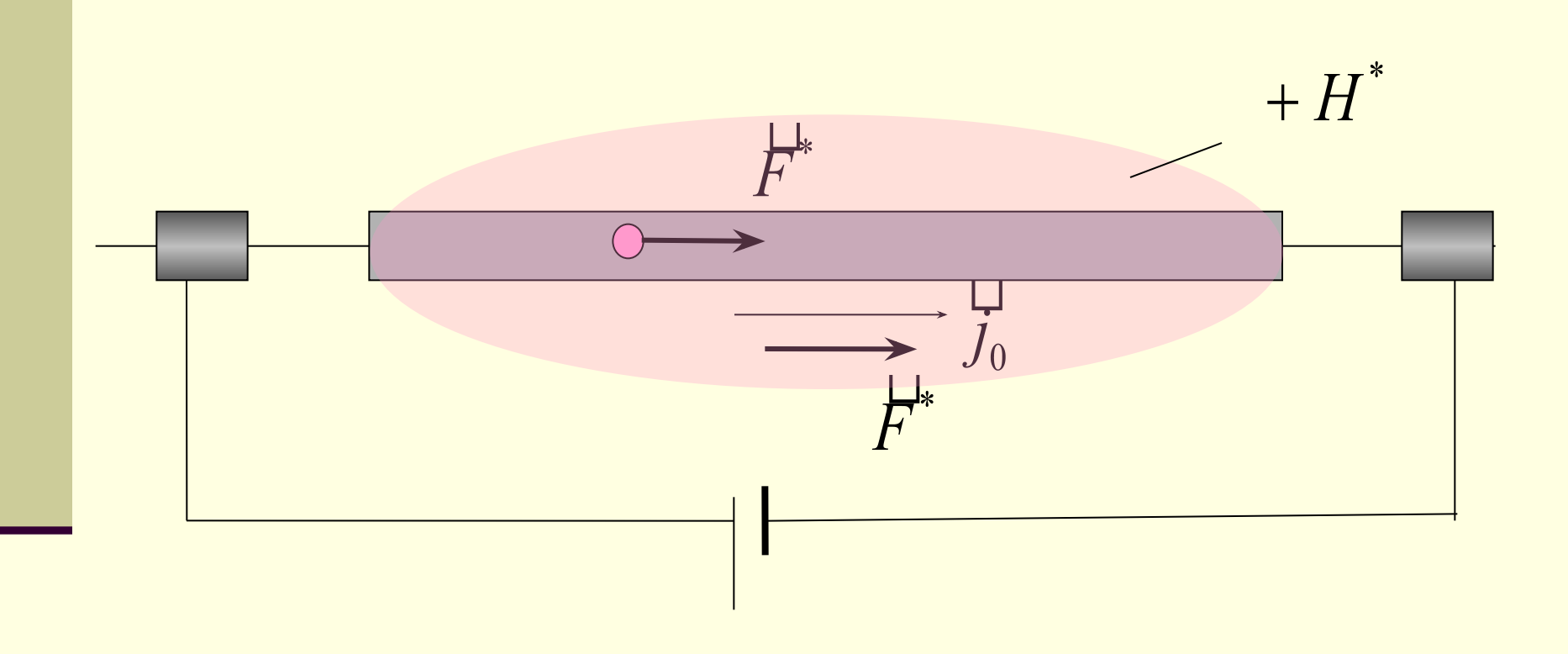
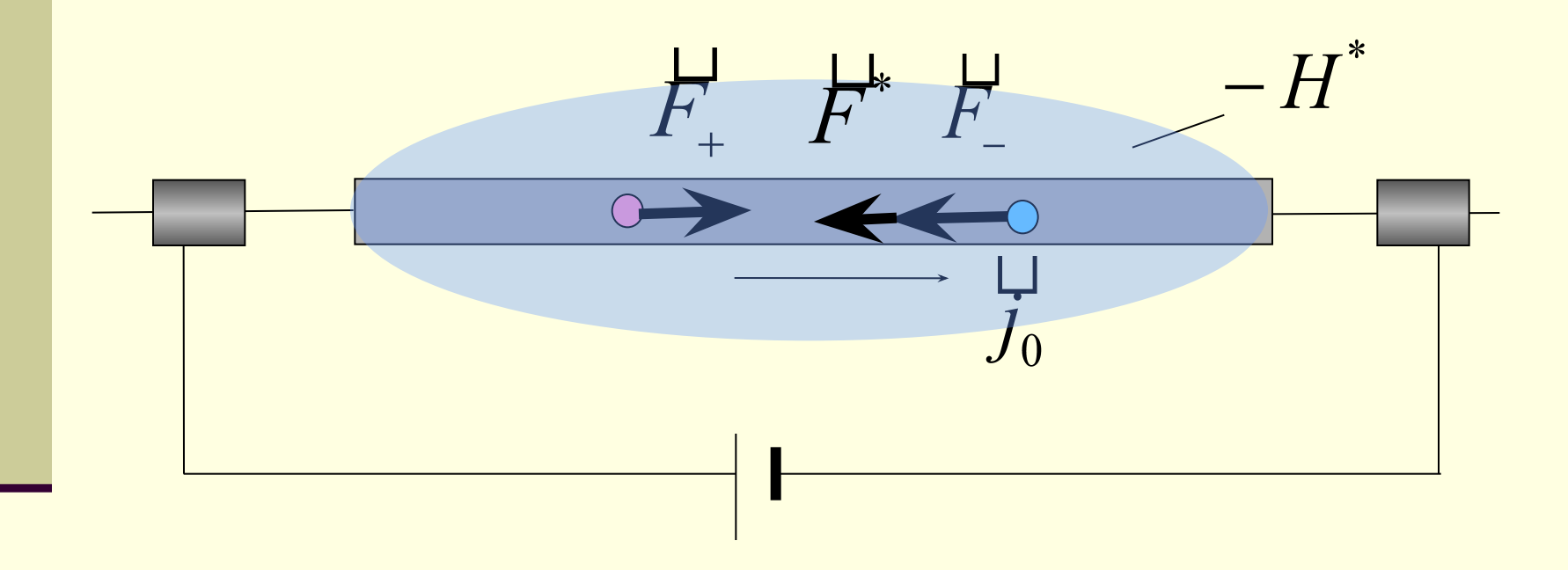
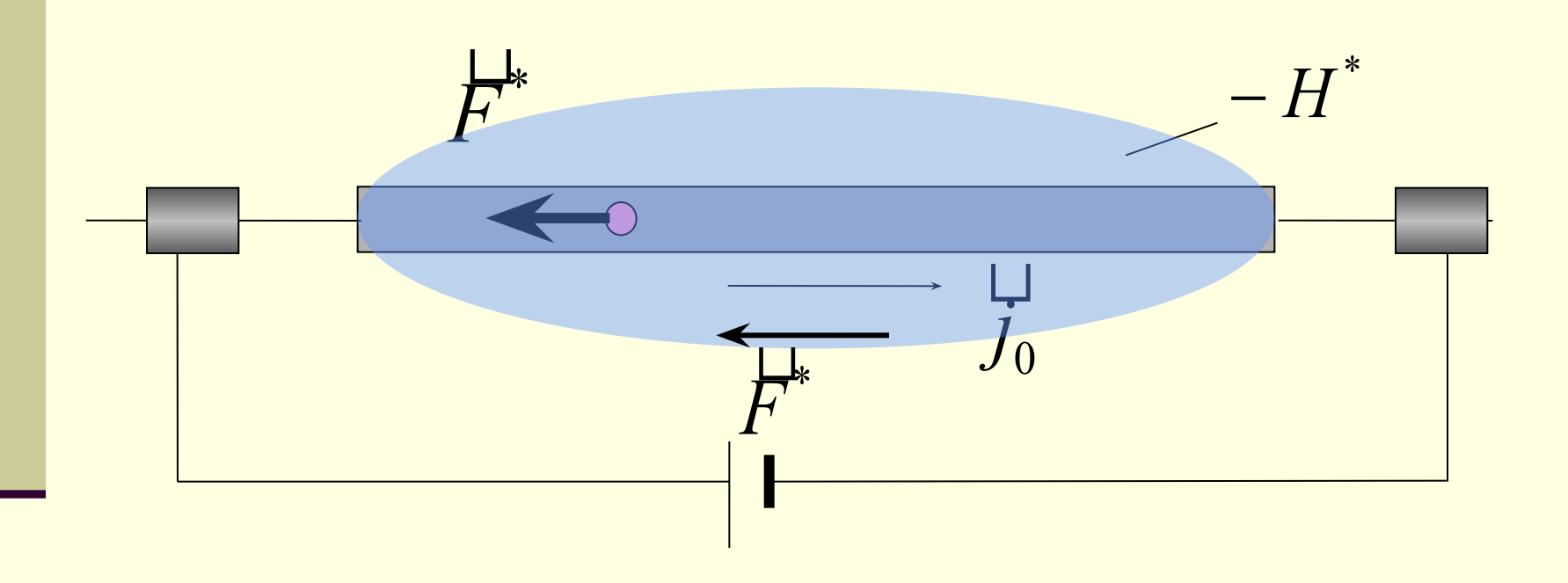
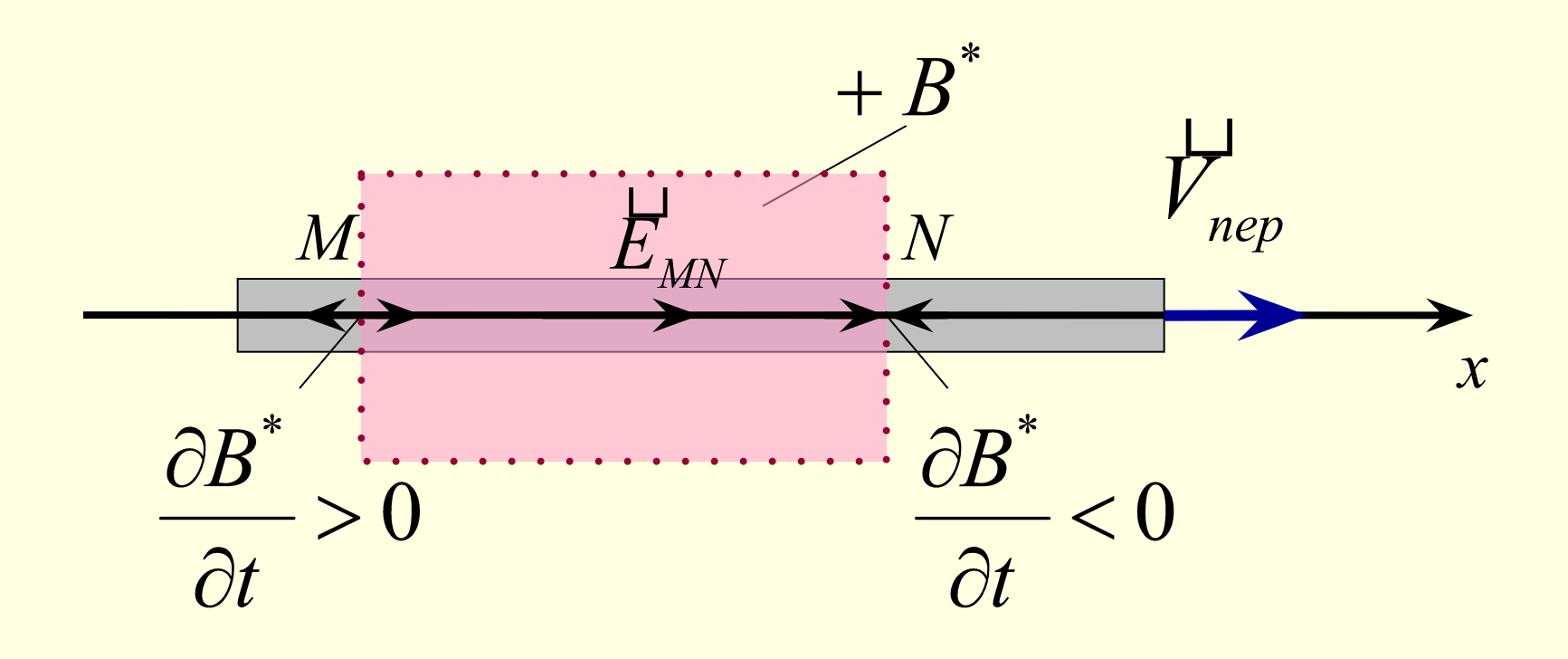


Рис.24





#### Индукция тока в проводнике, движущемся в СМП



#### Аналог правила Ленца

Ток, индуцированный в проводнике за счет изменения внешнего СМП, создает собственное СМП, которое стремиться скомпенсировать изменение внешнего СМП, его породившего

#### Аналог закона электромагнитной индукции

$$\frac{\partial B^*}{\partial t} = divE \tag{18}$$

Точка пространства, в которой создано нестационарное СМП, является источником или стоком электрического поля

#### Уравнения обобщенной электродинамики

$$rotH + gradH^* = J + \frac{\partial D}{\partial t}$$

$$rotE = -\frac{\partial B}{\partial t}$$

$$divD = \rho + \varepsilon'\varepsilon_0 \frac{\partial B^*}{\partial t}$$

$$(21)$$

$$div H = 0$$

(22)

#### Обобщенное уравнение неразрывности

$$\frac{\partial \rho}{\partial t} + \varepsilon' \varepsilon_0 \frac{\partial^2 B^*}{\partial t^2} + divj = 0 \tag{23}$$

В точке, являющейся источником (стоком) электрического тока, имеется переменный электрический заряд, и в ней обязательно создается нестационарное СМП

#### Обобщенный закон сохранения энергии

Обобщенный вектор Умова-Пойтинга:

$$\vec{p} = \vec{p}_{\perp} + \vec{p}_{||} = \vec{E} \times \vec{H} + \vec{E} \vec{H}^* \tag{24}$$

#### Обобщенный закон сохранения энергии

Обобщенный вектор Умова-Пойтинга:

$$\vec{p} = \vec{p}_{\perp} + \vec{p}_{||} = \vec{E} \times \vec{H} + \vec{E} \vec{H}^* \tag{24}$$

Плотность энергии электромагнитного поля:

$$w = \frac{1}{2} \left( E \cdot D + H \cdot B + H^* B^* \right) \tag{25}$$

#### Обобщенный закон сохранения энергии

Обобщенный вектор Умова-Пойтинга:

$$\vec{p} = \vec{p}_{\perp} + \vec{p}_{||} = \vec{E} \times \vec{H} + \vec{E} \vec{H}^* \tag{24}$$

Плотность энергии электромагнитного поля:

$$w = \frac{1}{2} \left( E \cdot D + H \cdot B + H^* B^* \right) \tag{25}$$

$$\frac{\partial w}{\partial t} = -Q - \int_{S} \vec{p} \cdot d\vec{S} \tag{26}$$

#### Условие Лоренца

В классической электродинамике:

$$divA + \mu'\mu_0 \varepsilon \varepsilon_0 \frac{\partial \varphi}{\partial t} = 0 \tag{27}$$

В обобщенной электродинамике:

$$H^{*}(x',y',z',t) = -\frac{1}{\mu'\mu_{0}} div A - \varepsilon' \varepsilon_{0} \frac{\partial \varphi}{\partial t}$$
 (28)

#### Волновые уравнения для потенциалов

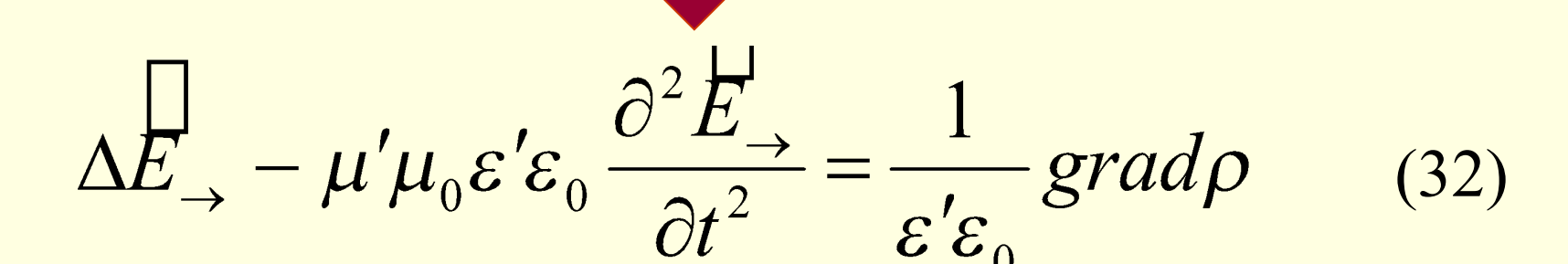
$$\Delta \vec{A} - \varepsilon' \varepsilon_0 \mu' \mu_0 \frac{\partial^2 \vec{A}}{\partial t^2} = -\mu' \mu_0 \vec{J}$$
 (29)

$$\Delta \varphi - \mu' \mu_0 \varepsilon' \varepsilon_0 \frac{\partial^2 \varphi}{\partial t^2} = -\frac{\rho}{\varepsilon' \varepsilon_0}$$
 (30)

 $\left( \stackrel{\square}{A}, \varphi \right)$  - 4 - мерный электродинамический потенциал

### Волновые уравнения для вектора E'

$$\Delta \vec{E} - \mu' \mu_0 \varepsilon' \varepsilon_0 \frac{\partial^2 \vec{E}}{\partial t^2} = \mu' \mu_0 \frac{\partial \vec{j}}{\partial t} + \frac{1}{\varepsilon' \varepsilon_0} grad\rho \quad (31)$$



$$\Delta E_{\rm O} - \mu' \mu_0 \varepsilon' \varepsilon_0 \frac{\partial^2 E_{\rm O}}{\partial t^2} = \mu' \mu_0 \frac{\partial j}{\partial t}$$
 (33)

### Волновые уравнения для $\overset{\ }{H}$ и $\overset{\ }{H}^*$

$$\Delta H - \varepsilon' \varepsilon_0 \mu' \mu_0 \frac{\partial^2 H}{\partial t^2} = -rot j \qquad (34)$$

$$\Delta H^* - \varepsilon' \varepsilon_0 \mu' \mu_0 \frac{\partial^2 H^*}{\partial t^2} = \frac{\partial \rho}{\partial t} + divj \qquad (35)$$

#### Типы электромагнитных волн

$$\left( \stackrel{\square}{E}_{{
m O}}, \stackrel{\square}{H} \right)$$
 - поперечные волны

$$\left(\stackrel{\square}{E}_{\rightarrow}, \stackrel{\square}{H}^*\right)$$
 - продольные  $E$ -волны

$$\left(\overset{\square}{H}, E^*\right)$$
 - продольные  $H$ -волны

#### Экспериментальные исследования

- 1. Еньшин А.В. и Илиодоров В.А. Способ изменения свойств парамагнитных газов. Патент № 2094775 от 27.10.97 по заявке № 93050149/25 от 03.11.93.
- 2. Еньшин А.В., Илиодоров В.А. Генерация продольных световых волн при рассеянии бигармонического лазерного излучения на магнонных и вращательных поляритонах в атмосфере. В сб. "Горизонты науки 21 века", 2002 г.
- 3. Monstein и J. P. Wesley. Euro physics Letters, 59 (4), pp. 514-520 (2002).

1. Классическая электродинамика является частной теорией: она описывает только электромагнитное поле бесконечного или отдельного замкнутого тока

- 1. Классическая электродинамика является частной теорией: она описывает только электромагнитное поле бесконечного или отдельного замкнутого тока
  - 2. Обобщенная электродинамика описывает электромагнитное *поле электродинамических систем*

- 1. Классическая электродинамика является частной теорией: она описывает только электромагнитное поле бесконечного или отдельного замкнутого тока
  - 2. Обобщенная электродинамика описывает электромагнитное *поле электродинамических систем* 
    - 3. Самой общей теорией является 4-мерная обобщенная квантовая электродинамика

- 1. Классическая электродинамика является частной теорией: она описывает только электромагнитное поле бесконечного или отдельного замкнутого тока
  - 2. Обобщенная электродинамика описывает электромагнитное *поле электродинамических систем* 
    - 3. Самой общей теорией является 4-мерная обобщенная квантовая электродинамика
  - 4. Физически содержательными являются все *три типа электромагнитных волн*

## Перспективные направления практического использования:

- электротехника на основе продольного электромагнитного взаимодействия
- создание новых средств связи, в частности работающих в электропроводных средах

 возможность изменения свойств вещества путем организации квантовых (спинорных) комплексов (нанотехнологии)

## Перспективные направления практического использования:

 воздействие на биологические объекты и водные структуры

> альтернативная электроэнергетика на основе использования энергии эфира (физического вакуума)